

ΟΠΤΙΚΑ ΣΦΑΛΜΑΤΑ



Κοσμάς Γαζέας

Εφαρμοσμένη Οπτική

Θεωρία Οπτικών Εκτροπών - Οπτικά Σφάλματα
Aberration Theory

Κύρια σημεία του μαθήματος

- ❖ Γενικά περί εκτροπής – σχήμα κυματικού μετώπου
- ❖ Διορθώσεις 3ης τάξης για διάθλαση σε σφαιρική επιφάνεια
- ❖ Χρωματική εκτροπή
- ❖ Σφάλματα Seidel

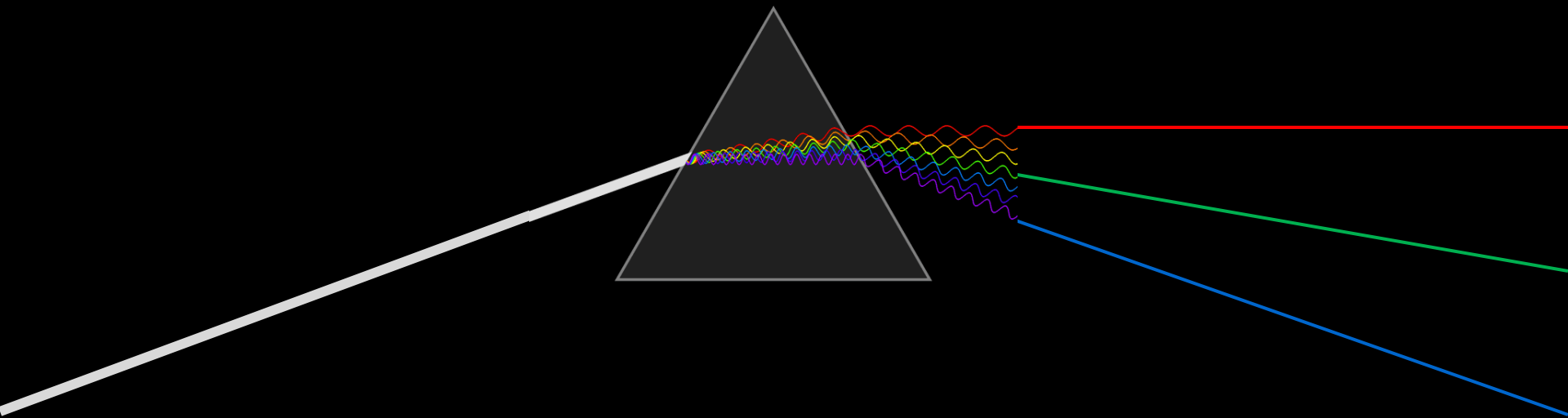
$$\sin x \approx x - \frac{x^3}{3!} + \frac{x^5}{5!} - \frac{x^7}{7!}.$$

Οπτικά σφάλματα

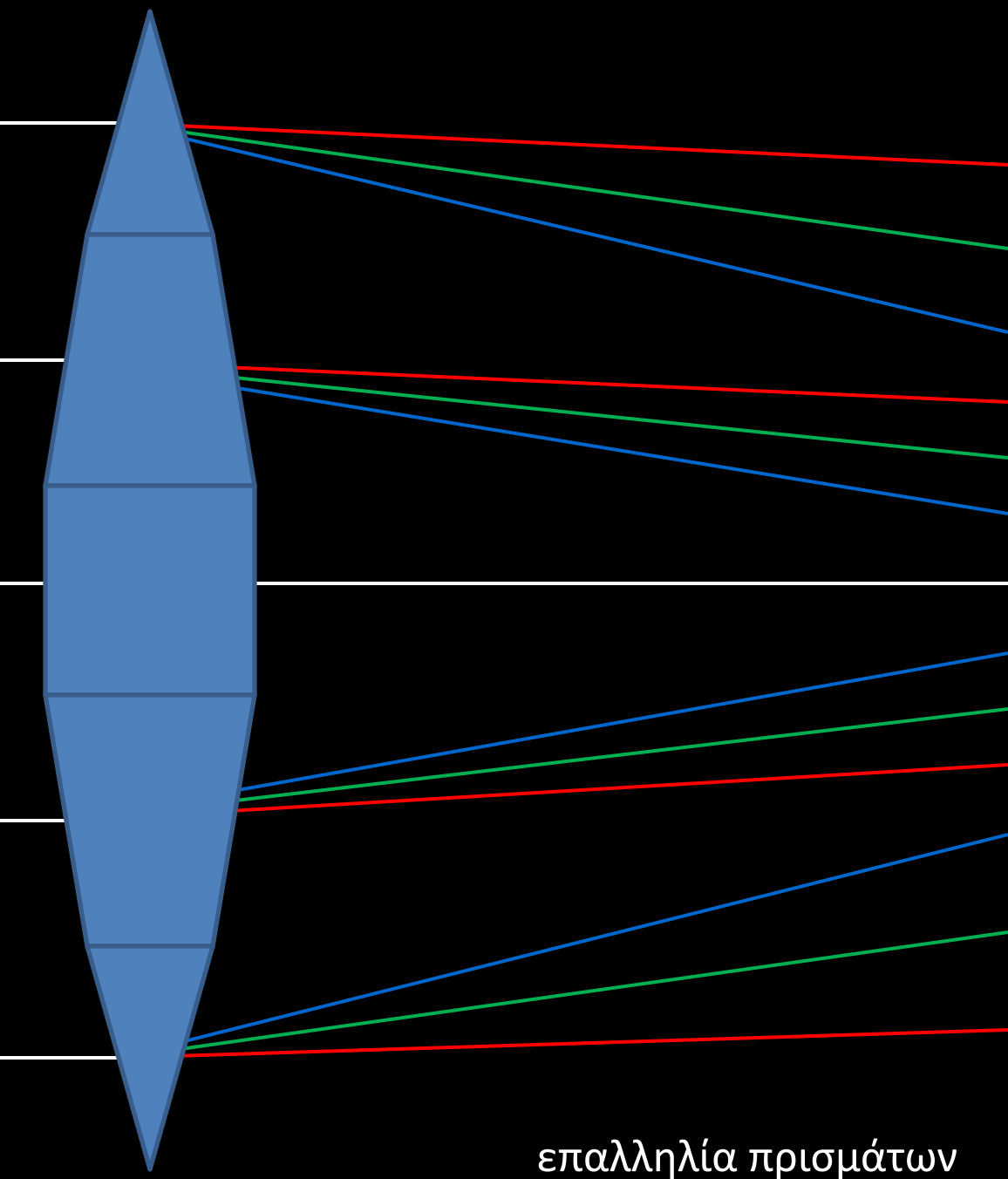
- 1) Χρωματικό
- 2) Σφαιρικό
- 3) Κόμη
- 4) Αστιγματισμός
- 5) Καμπύλωση
- 6) Παραμόρφωση
- 7) Vignetting

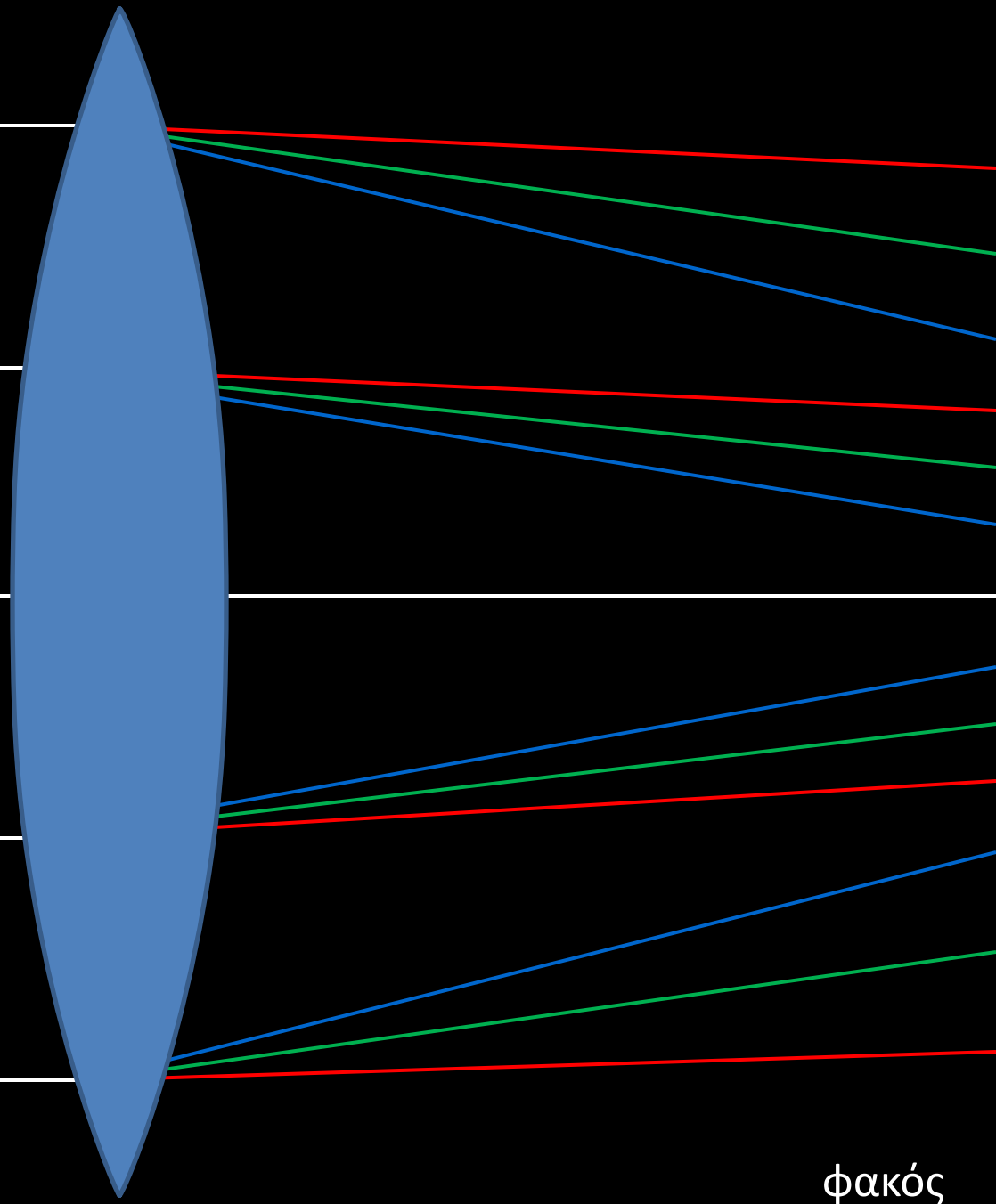
chromatic aberration
spherical (Seidel's) aberrations
ύπαρξη διαφράγματος ή/και πολύ ευρύ πεδίο

Η συλλεκτική ικανότητα των φακών

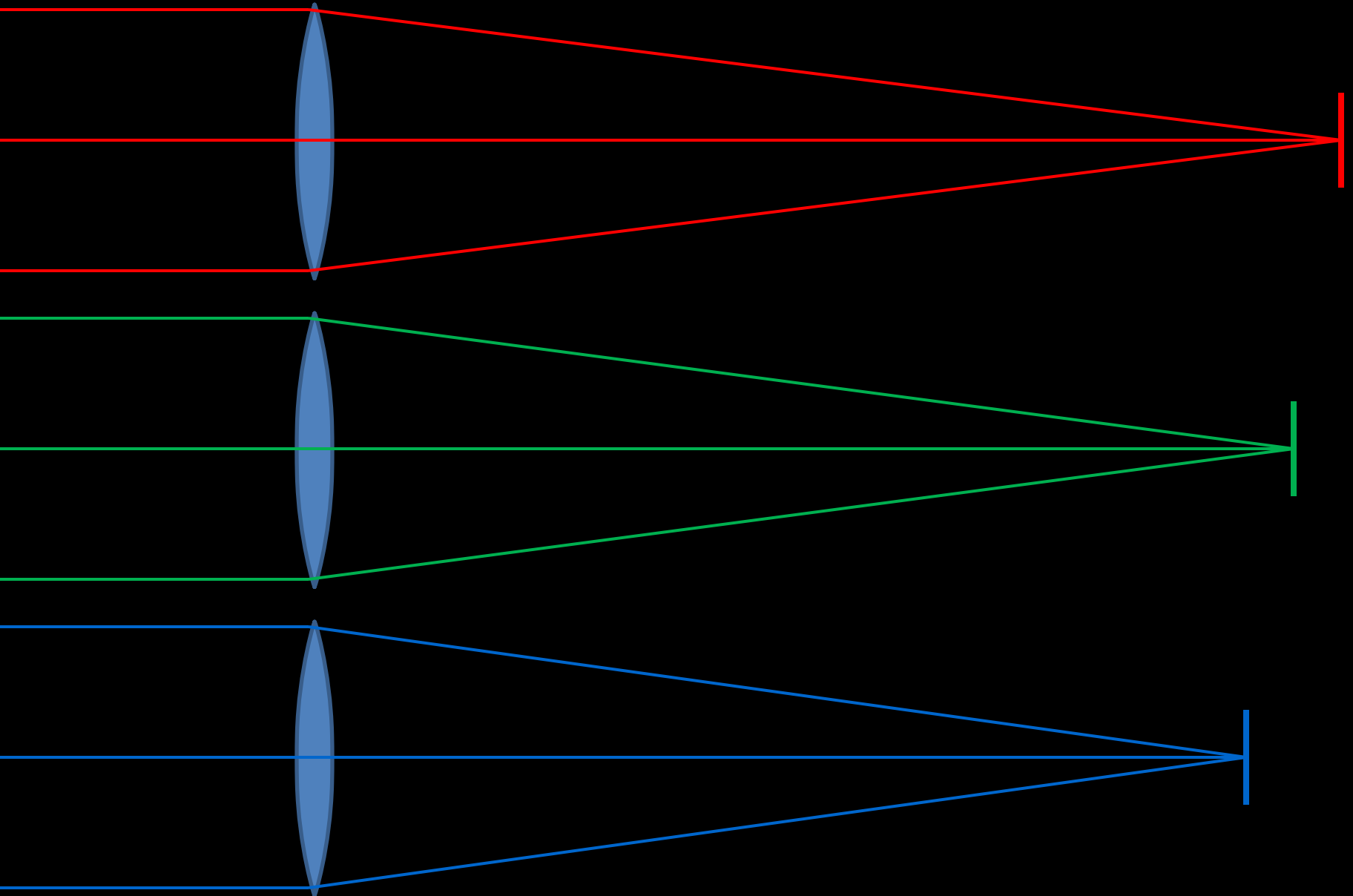


πρίσμα

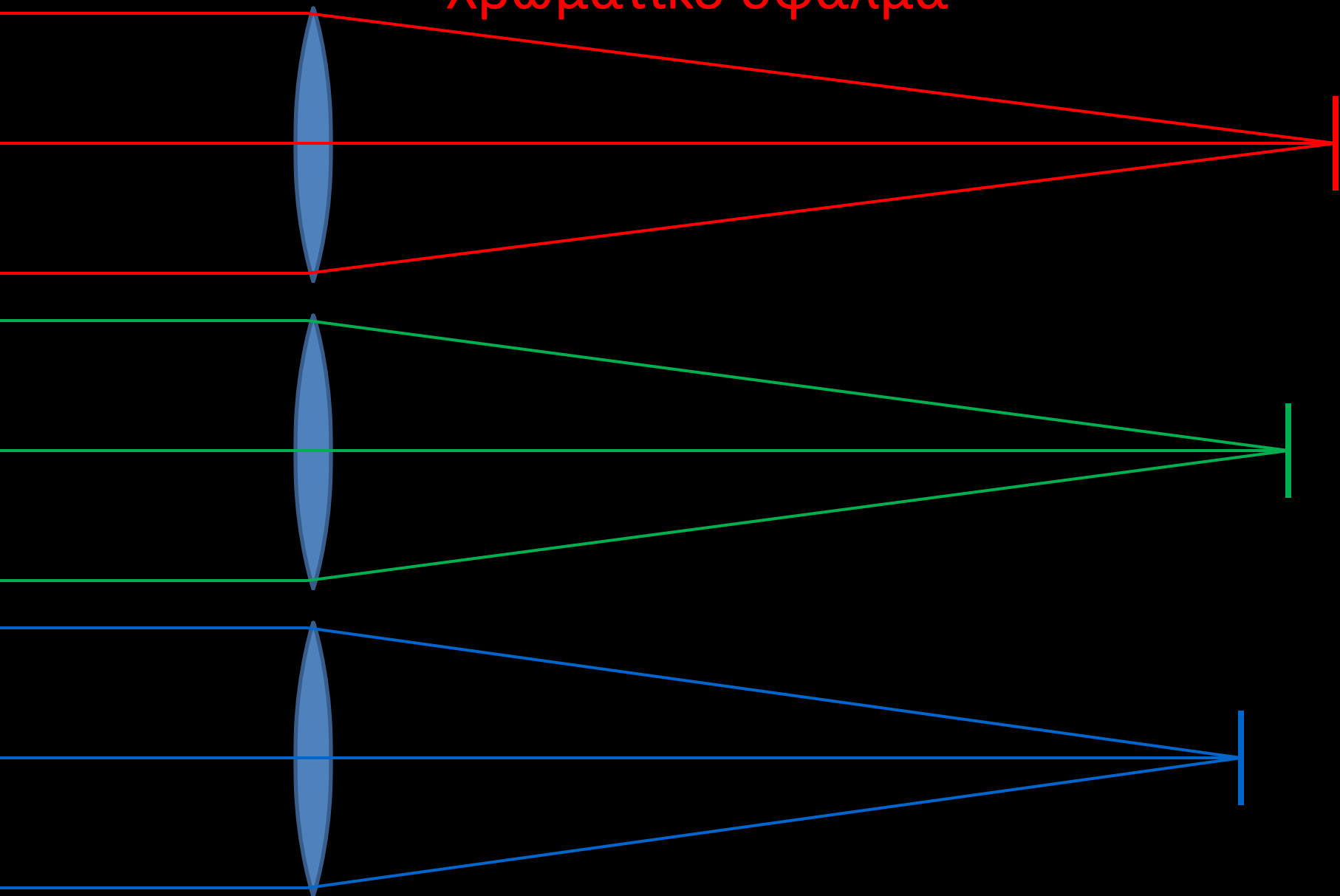




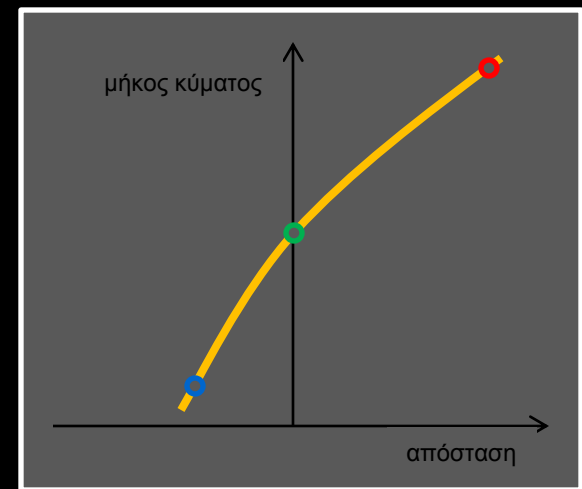
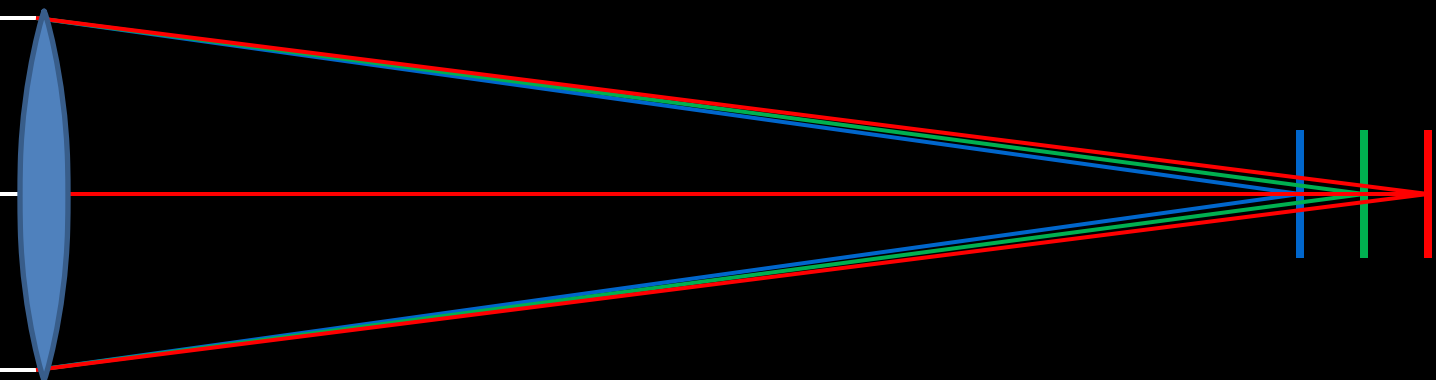
φακός



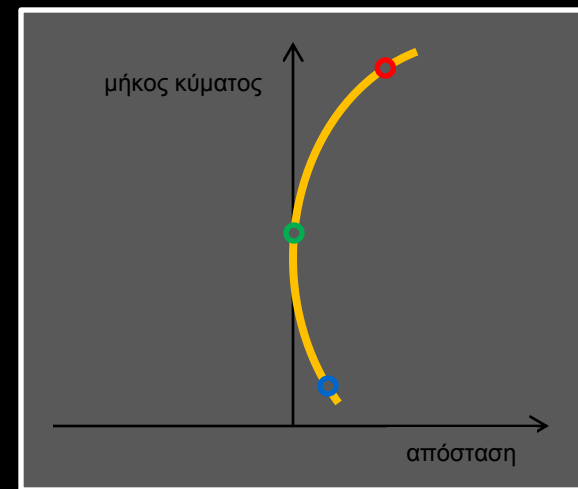
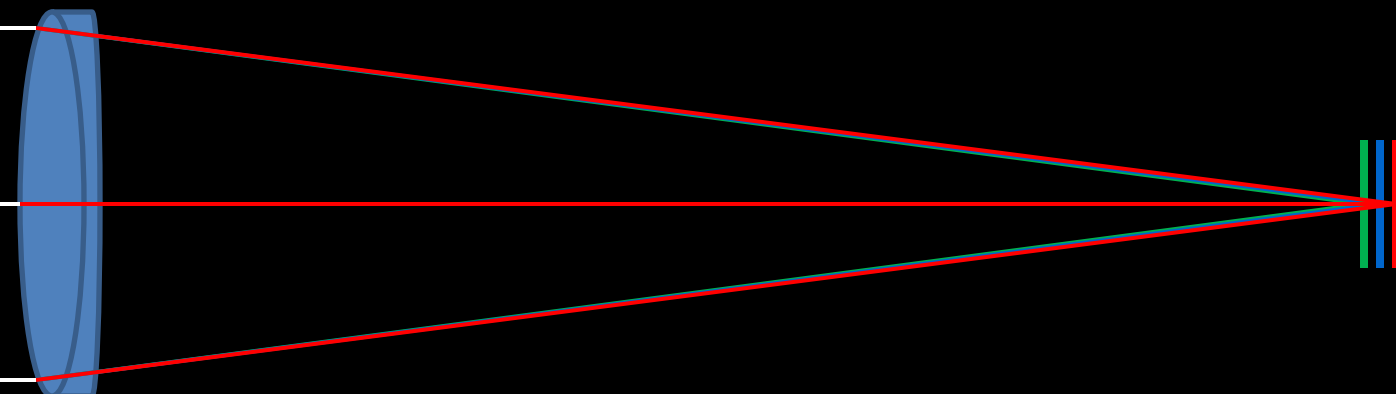
Χρωματικό σφάλμα



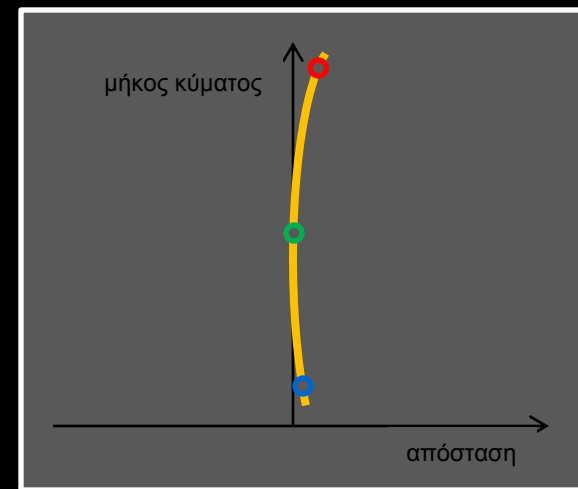
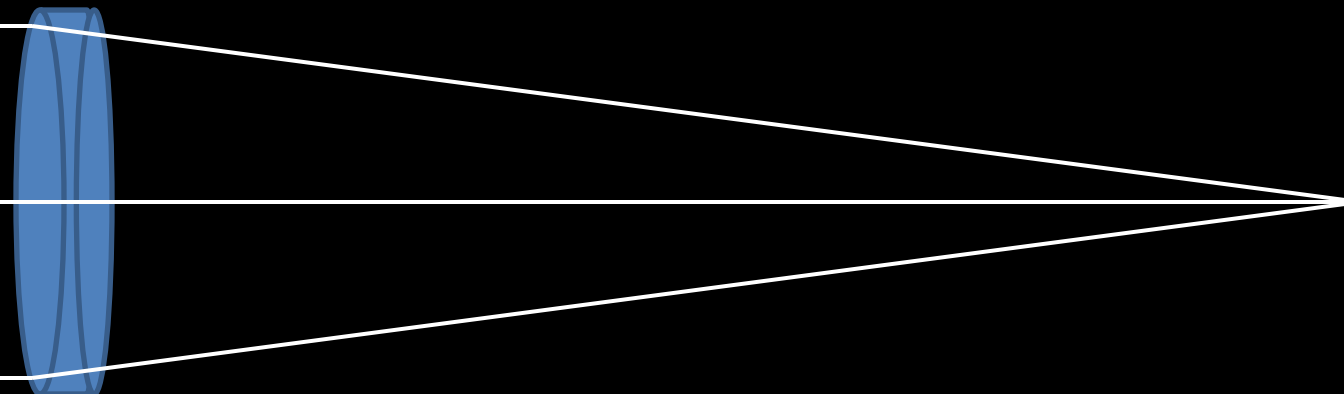
- Απλός φακός (χρωματικό σφάλμα)



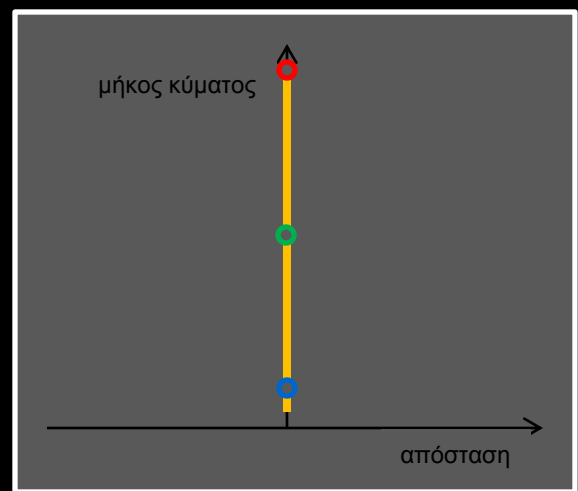
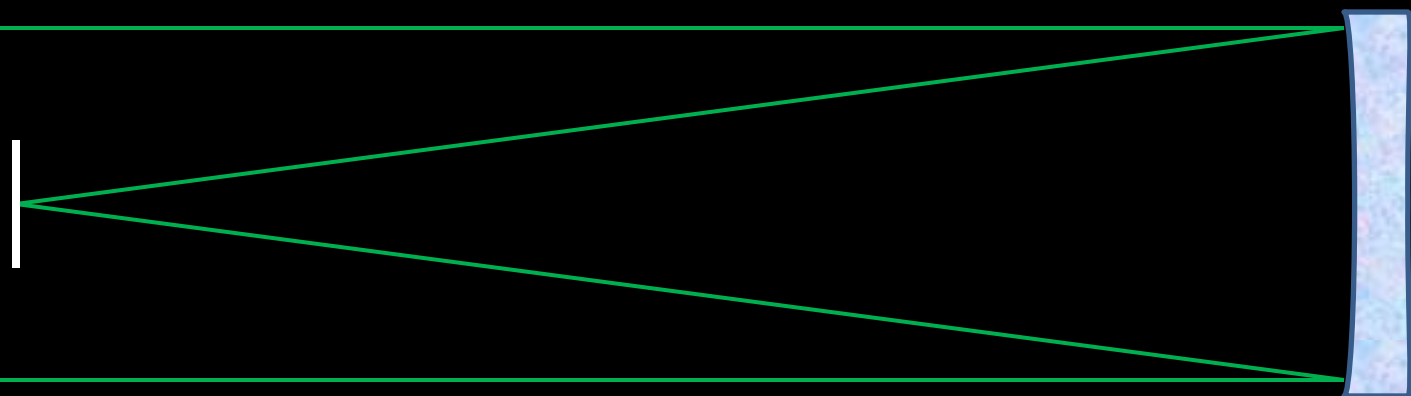
- Διπλός φακός (αχρωματικό σύστημα)



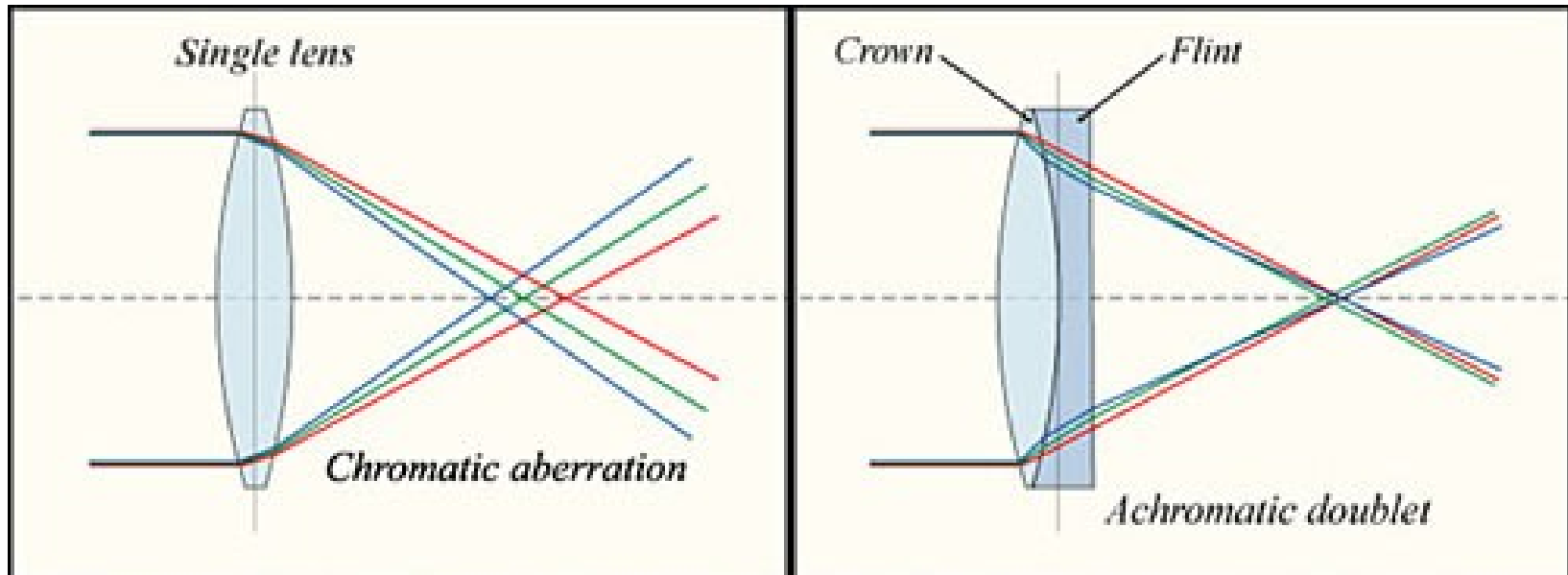
- Τριπλός φακός (αποχρωματικό σύστημα)



- Σύγκλιση του φωτός με κάτοπτρο



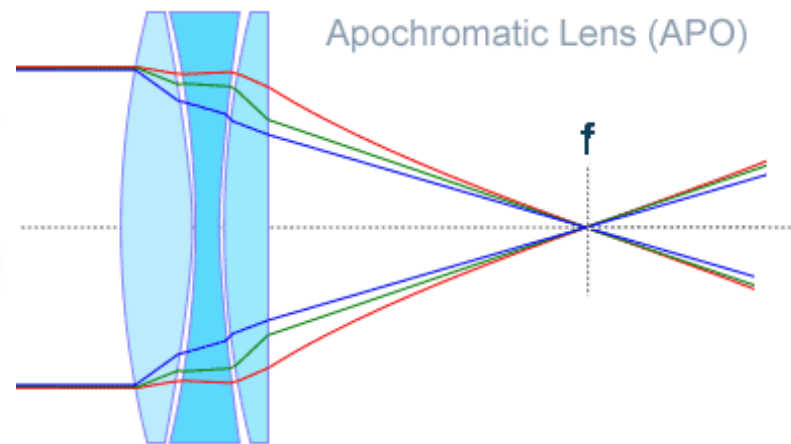
Χρωματικό σφάλμα από τηλεσκόπιο με απλό και διπλό (αχρωματικό) φακό



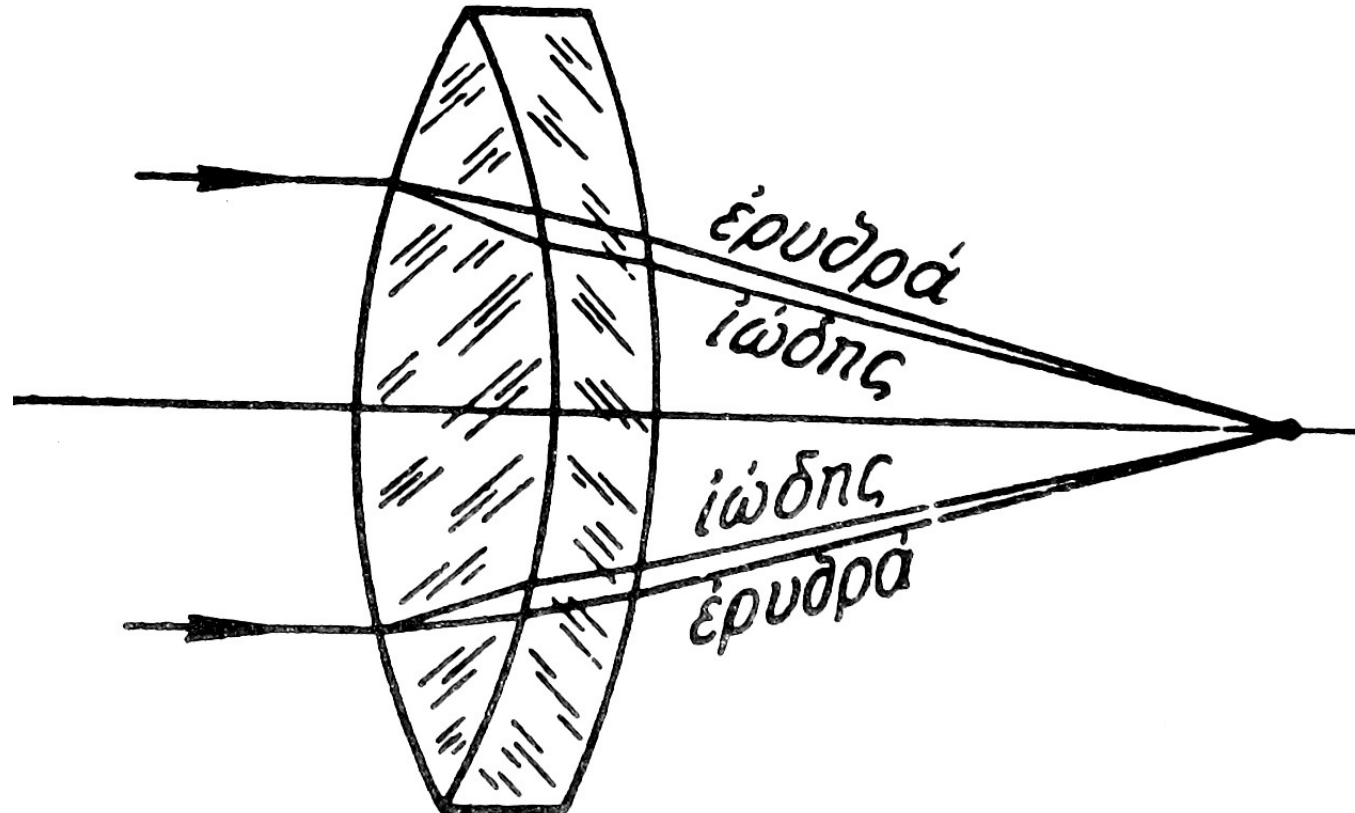
Χρωματικό σφάλμα



Αποχρωματικό
σύστημα φακών



Ένα αχρωματικό σύστημα φακών έχει μικρό χρωματικό σφάλμα



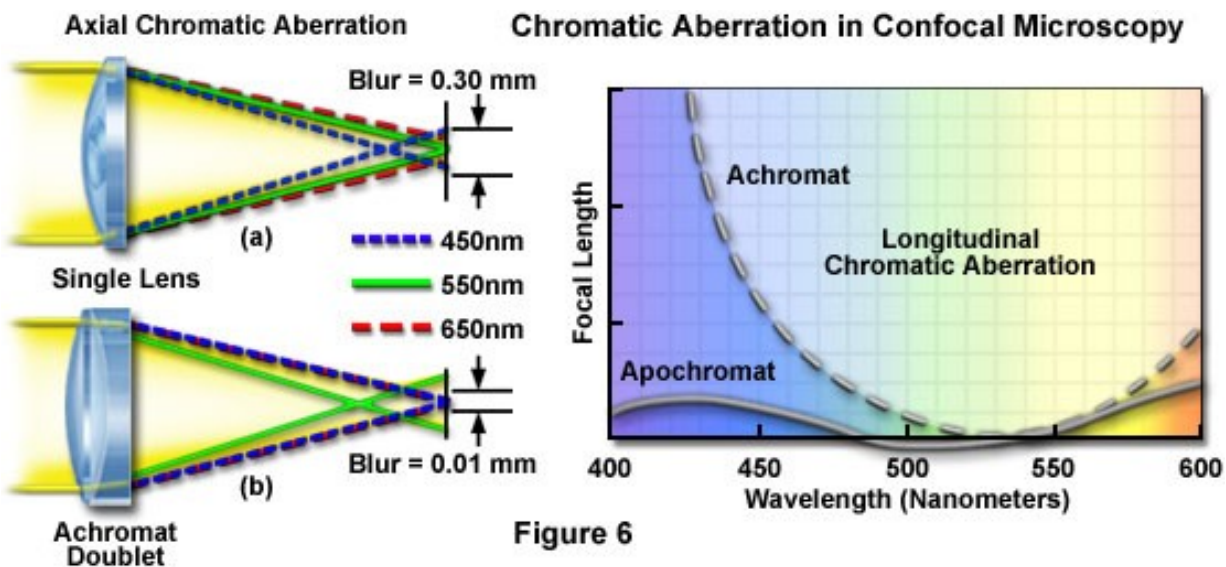
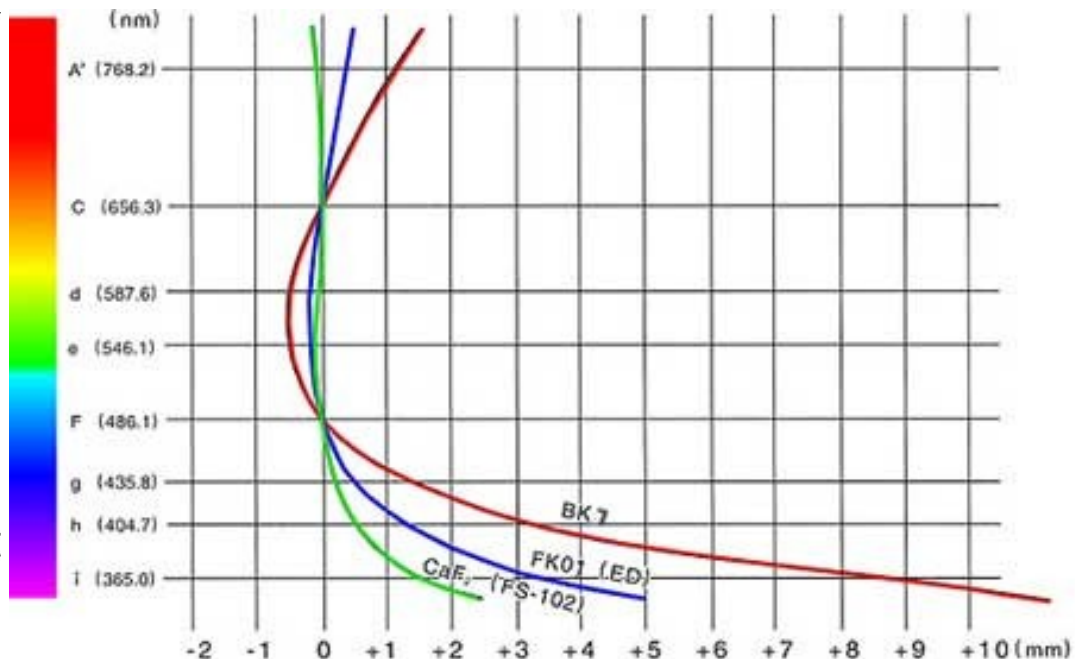
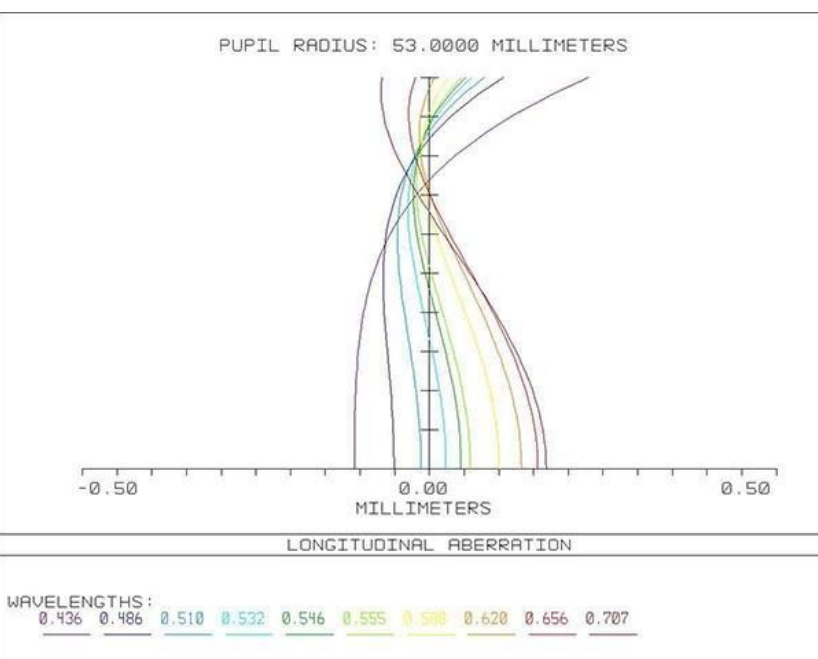


Figure 6

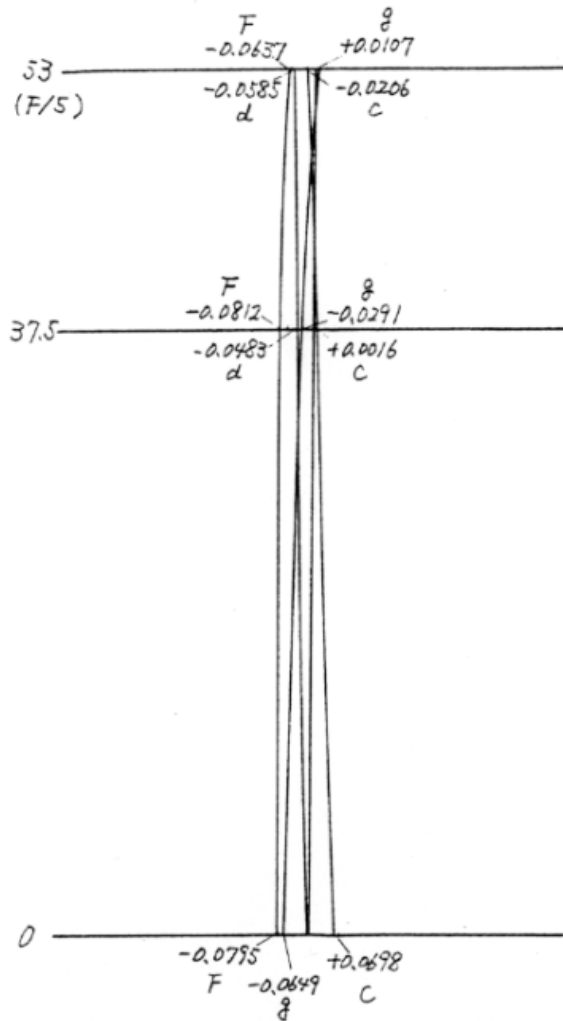


Takahashi FSQ 106ED

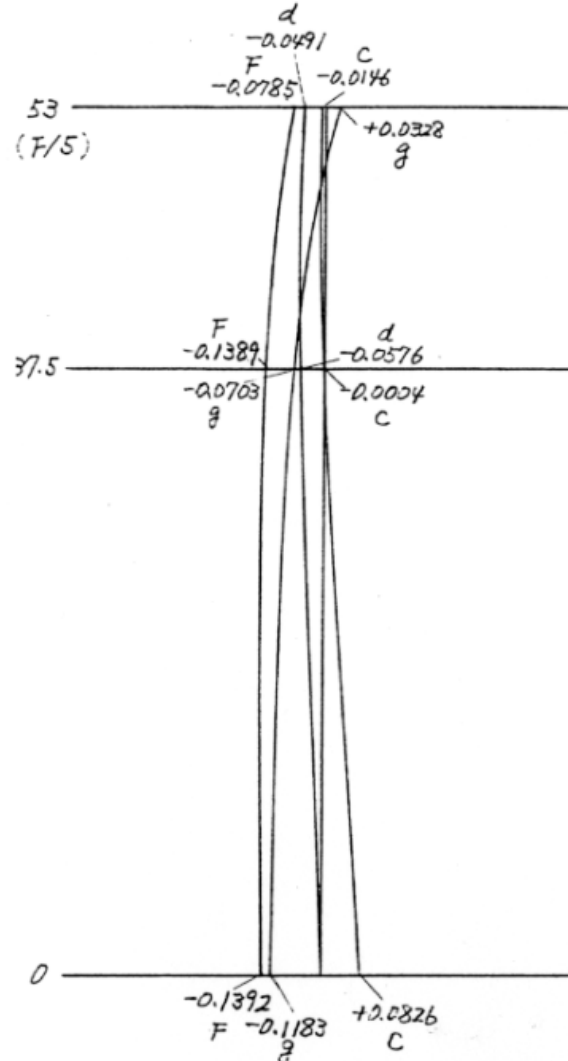


Χρωματικό σφάλμα (τηλεσκόπιο Takahashi FSQ106)

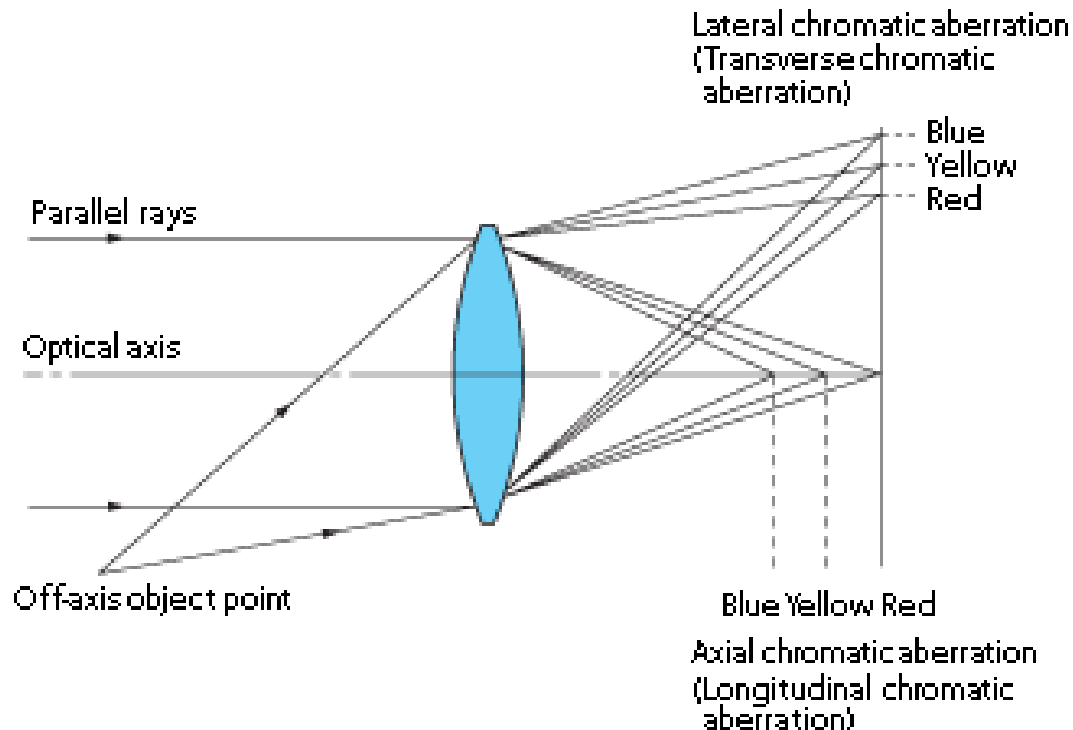
FSQ-106ED
106/530



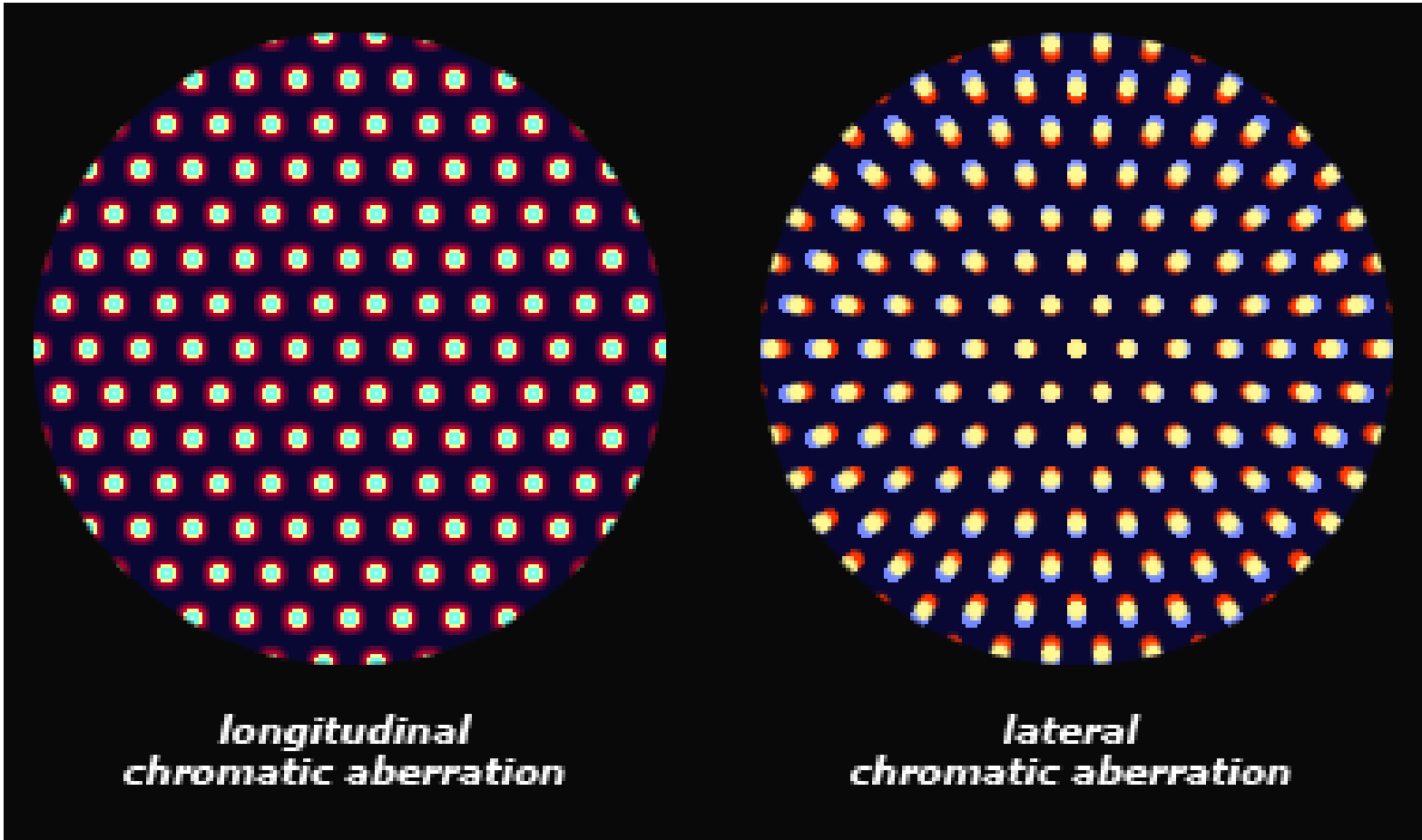
FSQ-106 (ancienne version)
106/530



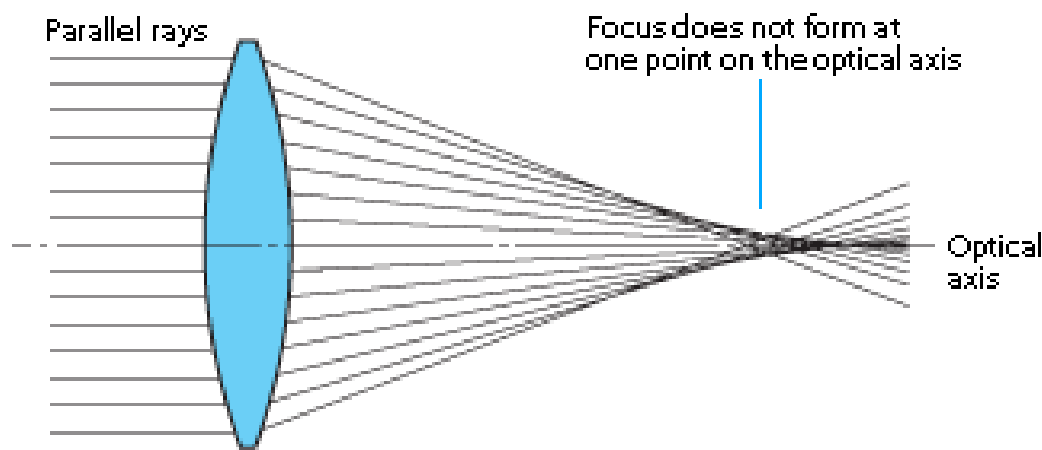
Το χρωματικό σφάλμα μπορεί να είναι αξονικό ή μη αξονικό
(διάμηκες και εγκάρσιο, αντίστοιχα)



Το χρωματικό σφάλμα μπορεί να είναι αξονικό ή μη αξονικό
(διάμηκες και εγκάρσιο, αντίστοιχα)

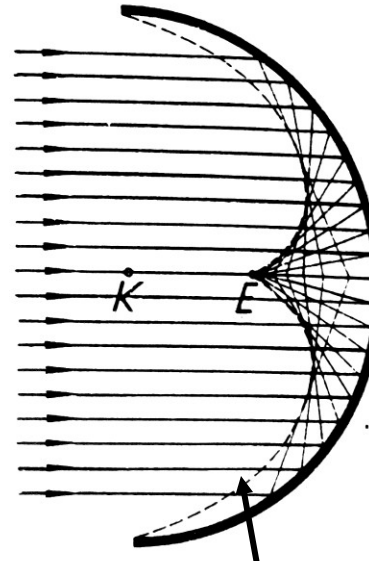
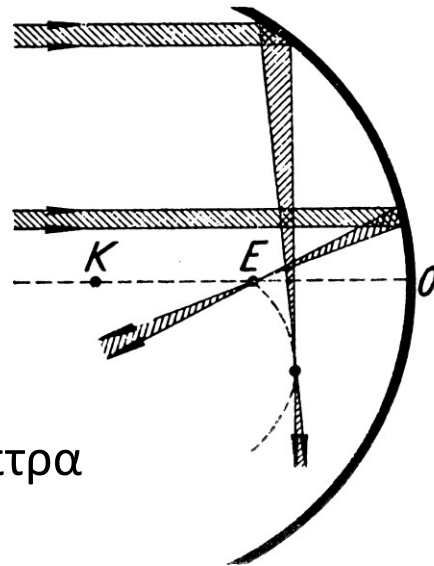


Σφαιρικό σφάλμα

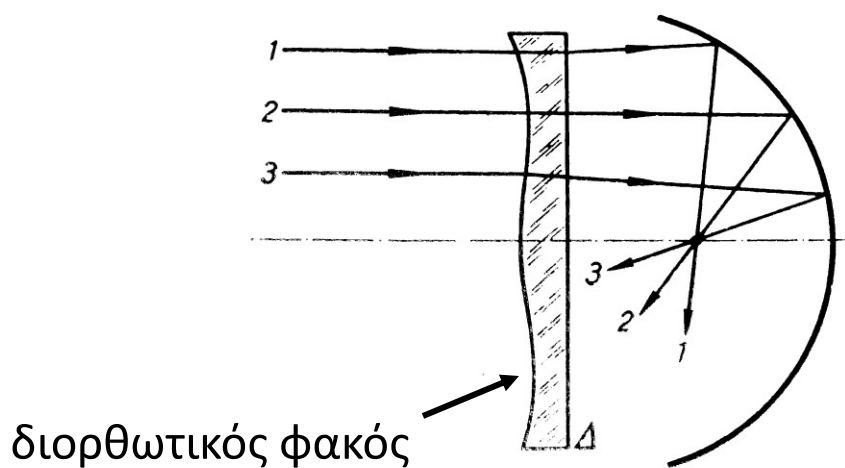


Σφαιρικό σφάλμα

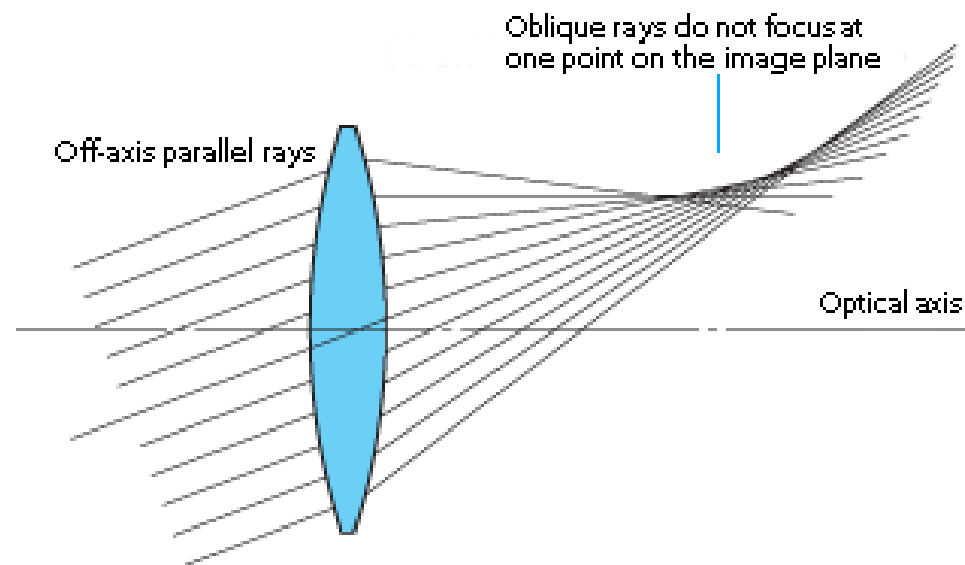
Σφαιρικά κάτοπτρα

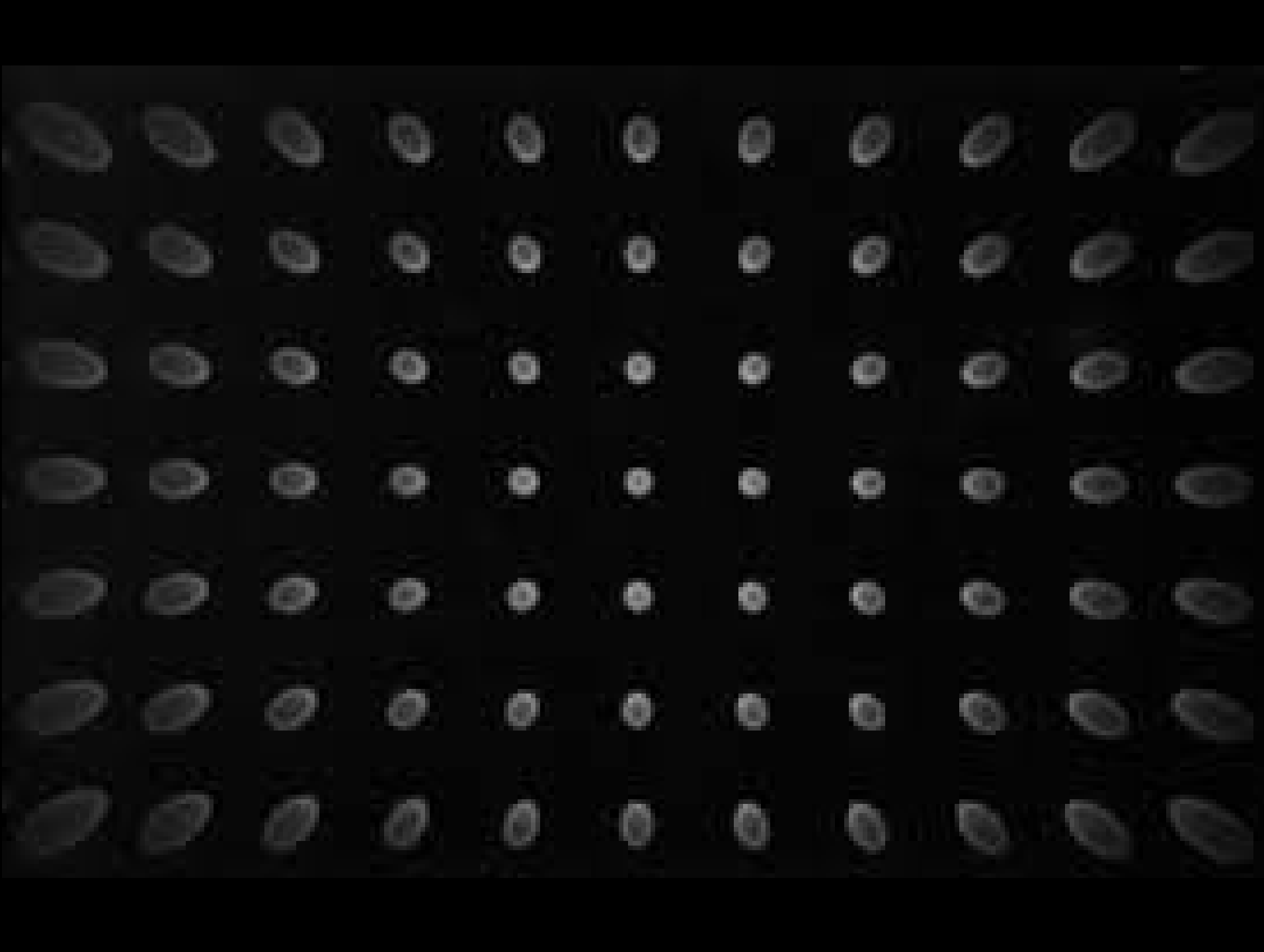


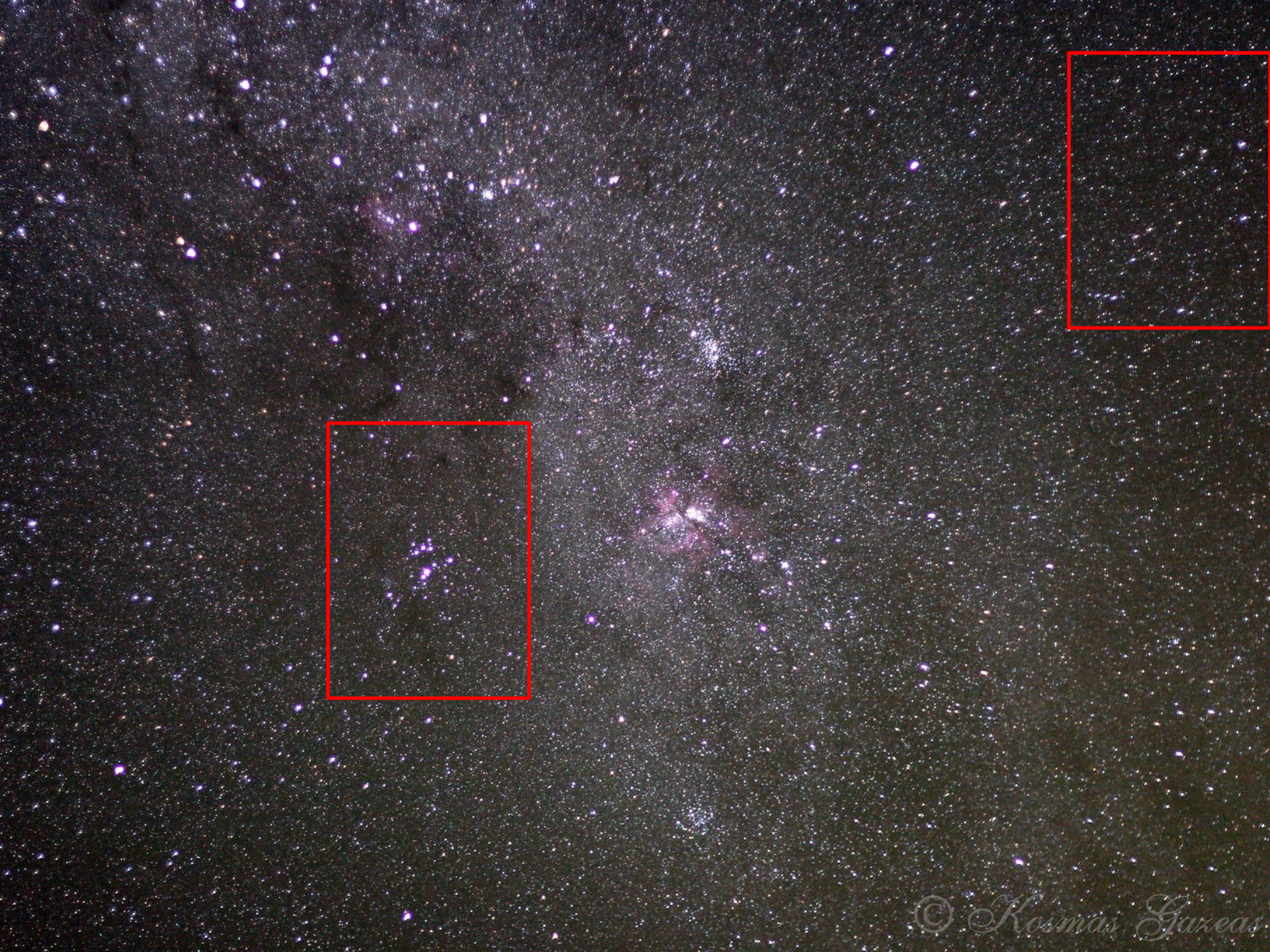
καυστική επιφάνεια



Σφάλμα Κόμης







© Kosmas Gazeas



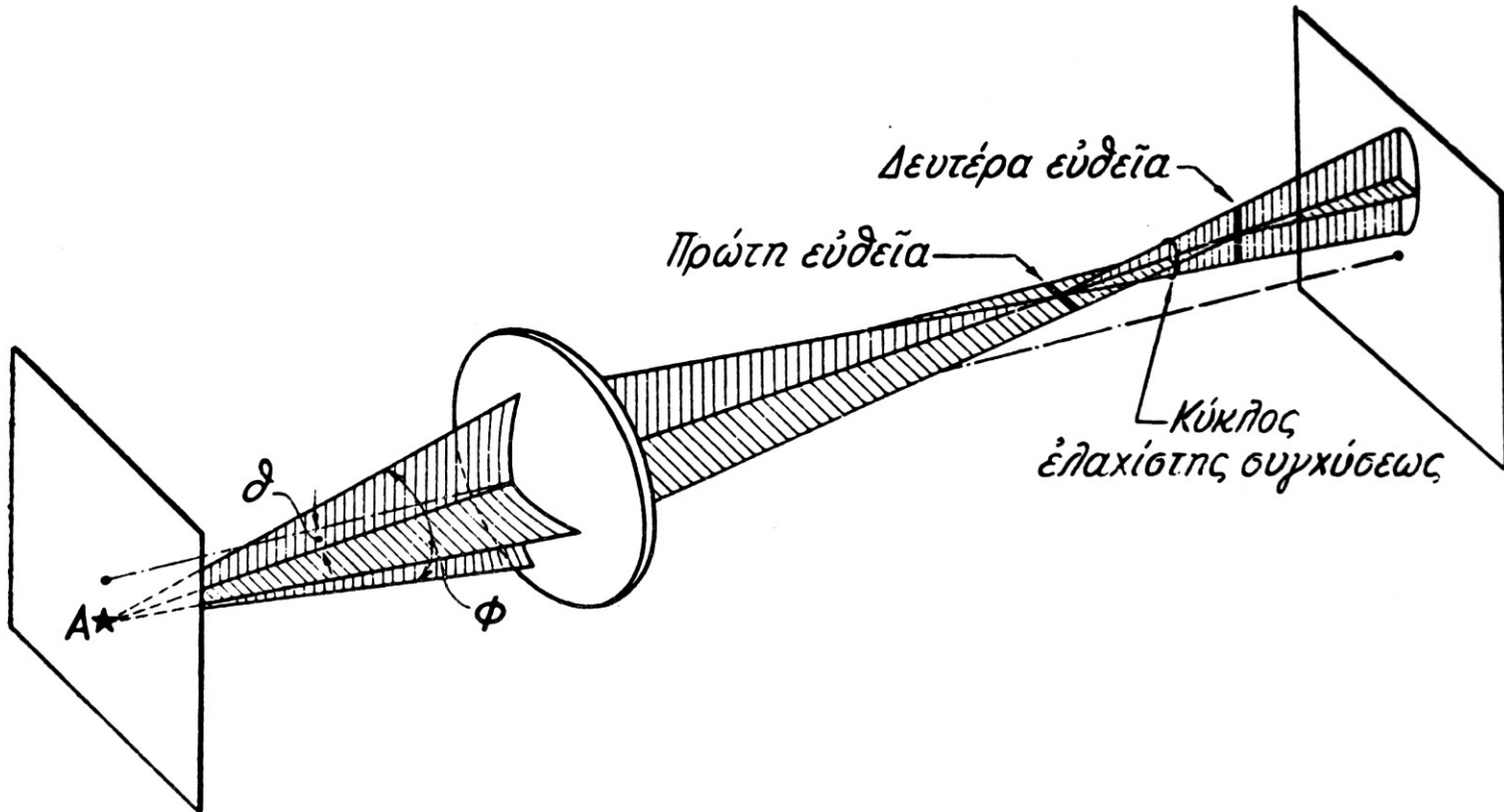
Κέντρο



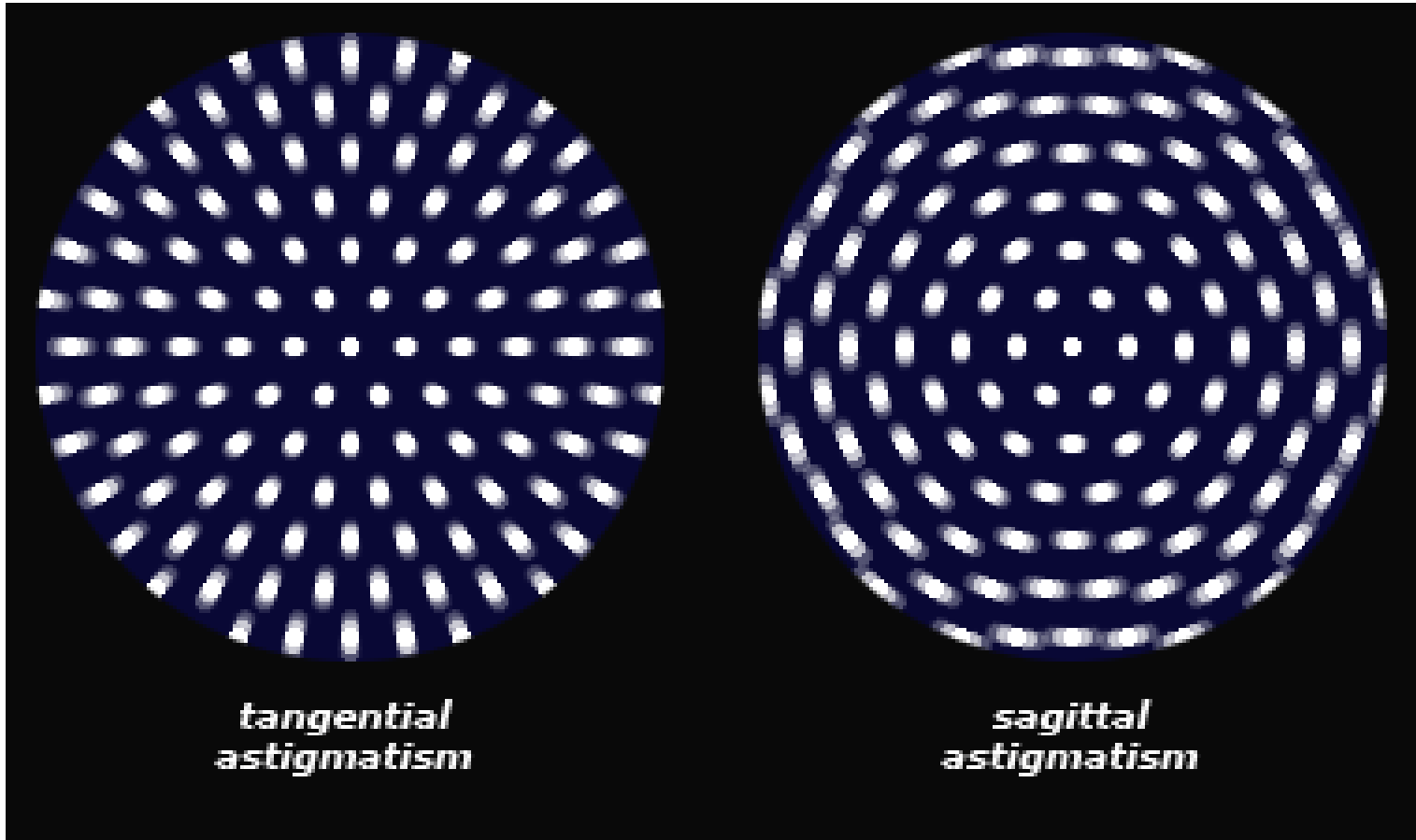
Άκρη



Αστιγματισμός

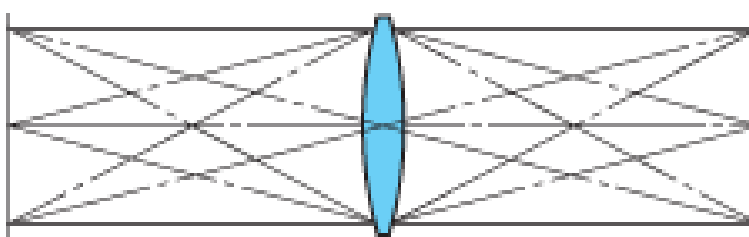


Αστιγματισμός



Καμπύλωση πεδίου

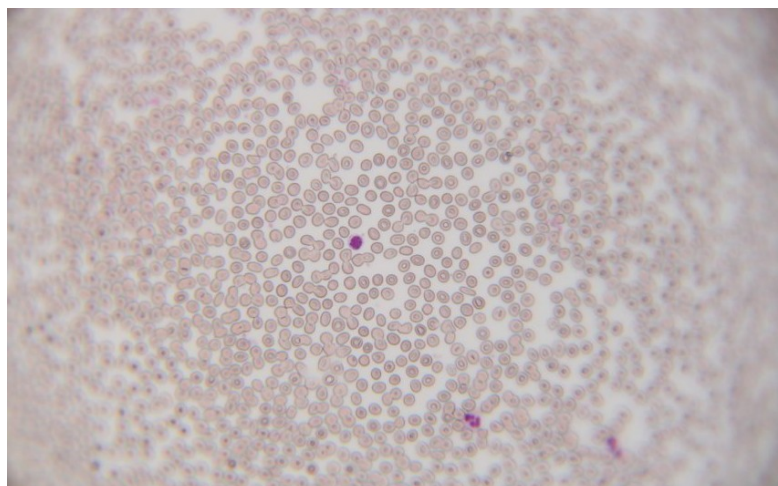
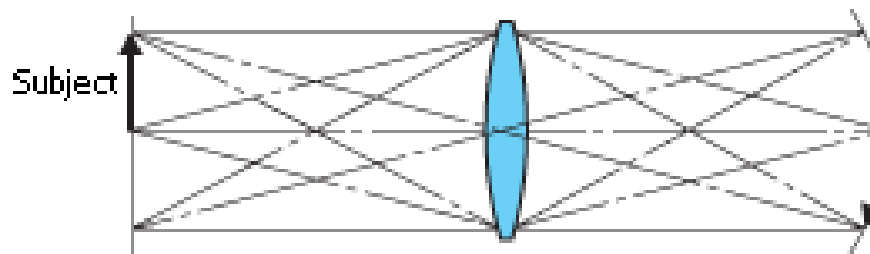
Ideal lens

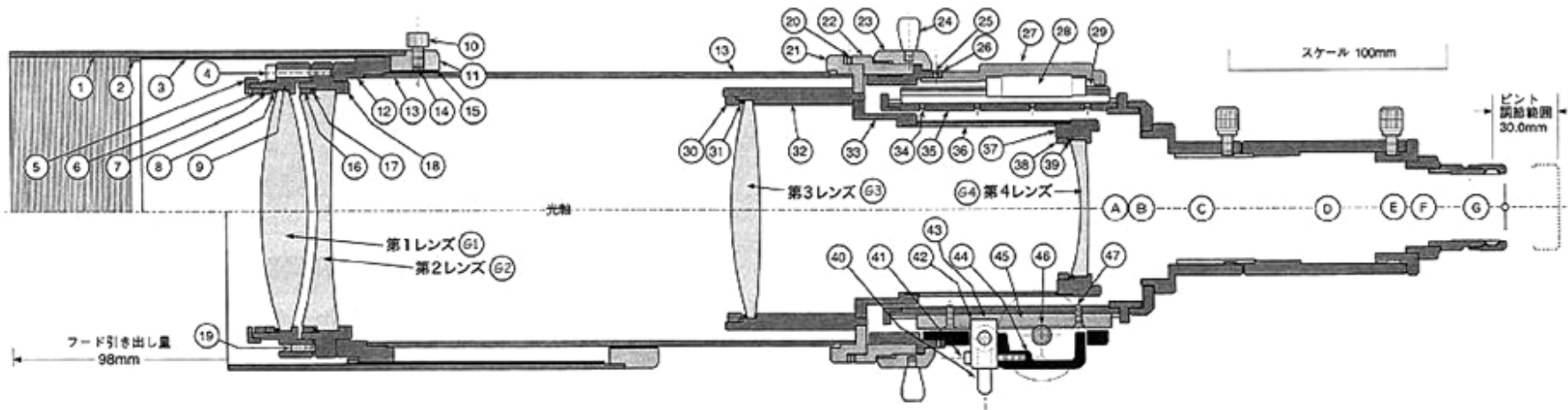


Subject plane

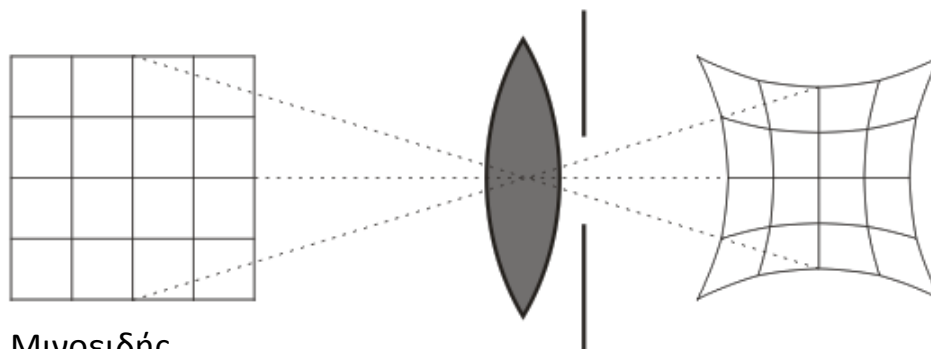
Image plane

Lens with field curvature



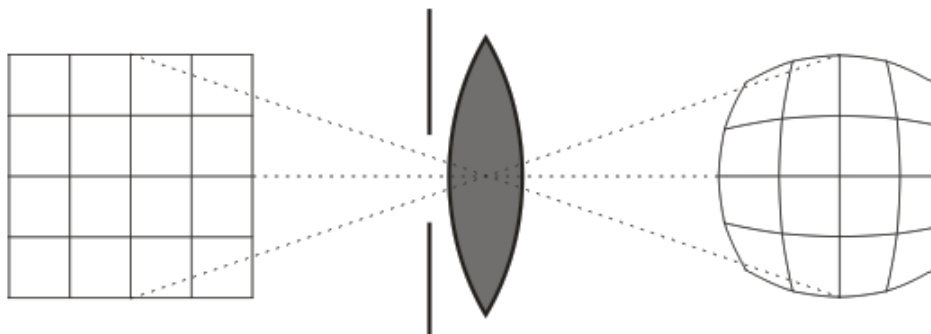


Παραμόρφωση



Μινοειδής

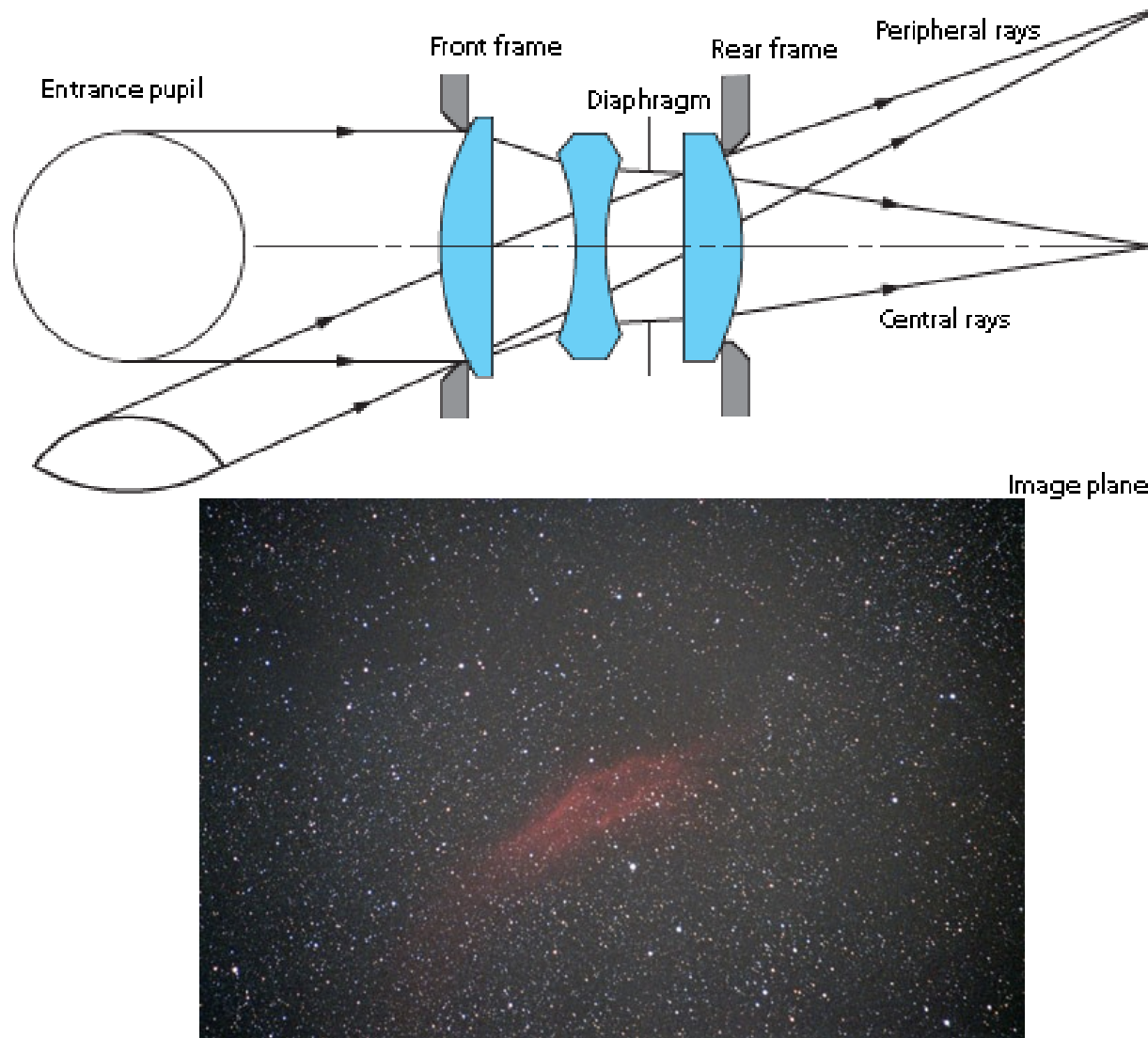
Pincushion distortion



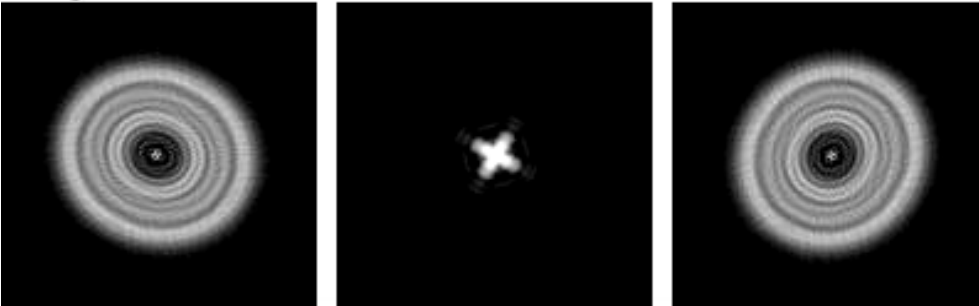
Πυθοειδής

Barrel distortion

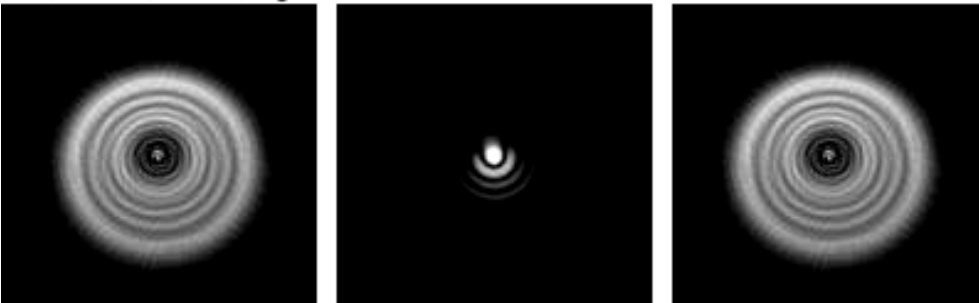
Vignetting



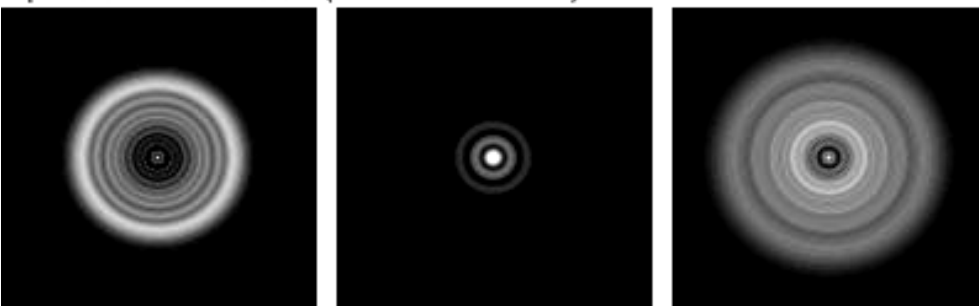
inside focus ————— focused ————— outside focus
Astigmatism



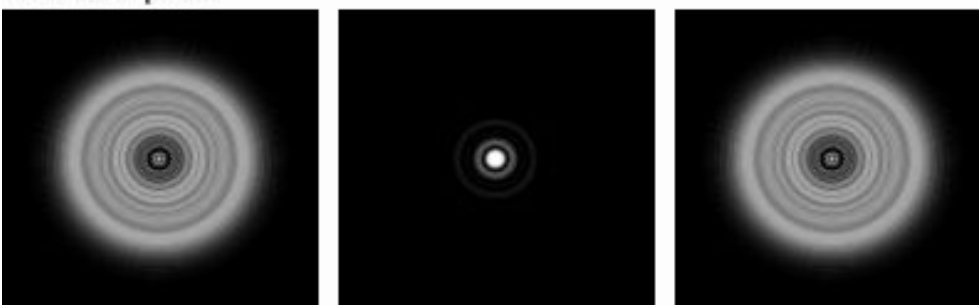
Coma from misalignment



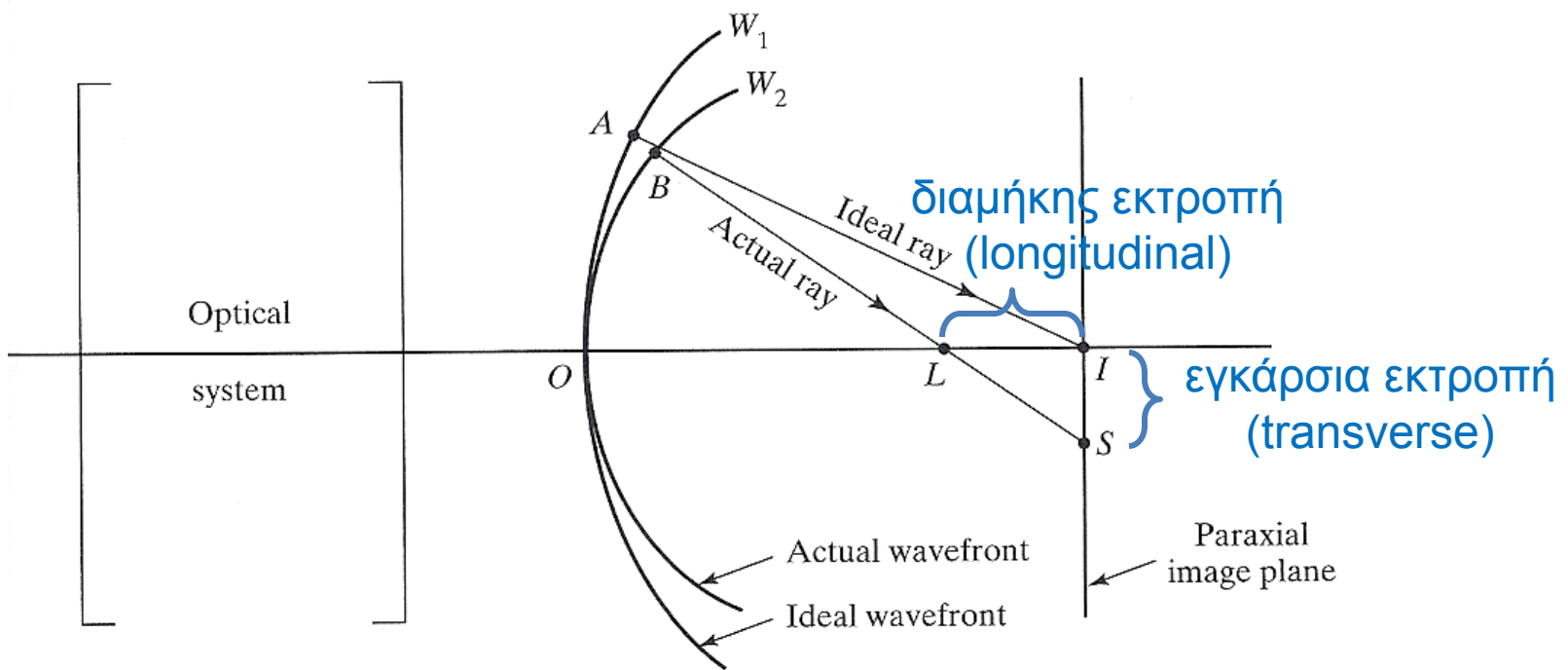
Spherical aberration (correction error)

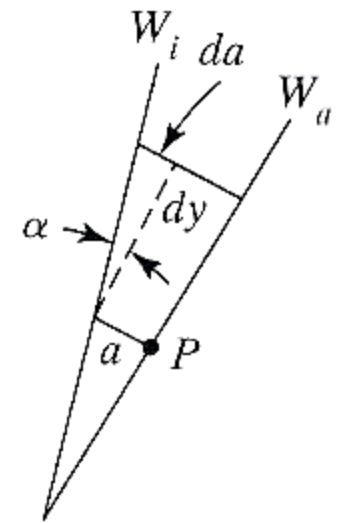
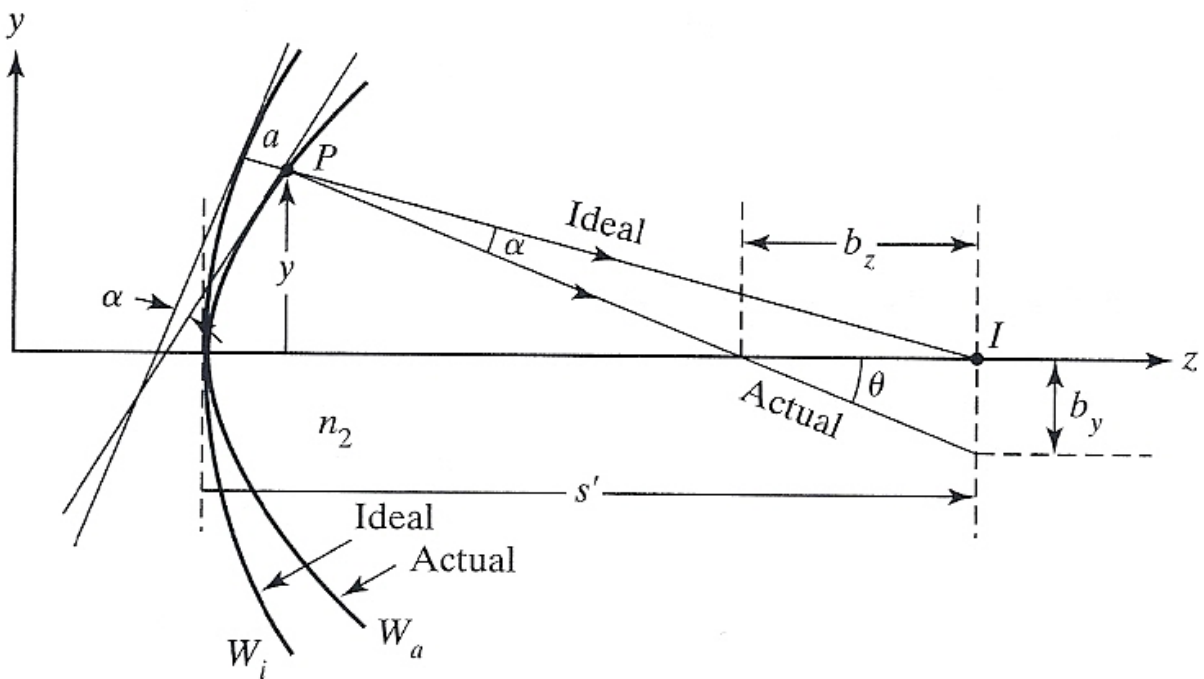


Perfect optics



Θεωρία των οπτικών εκτροπών





$$da = n_2(\alpha dy)$$

$$b_y = \alpha s' = \frac{s' da}{n_2 dy}$$

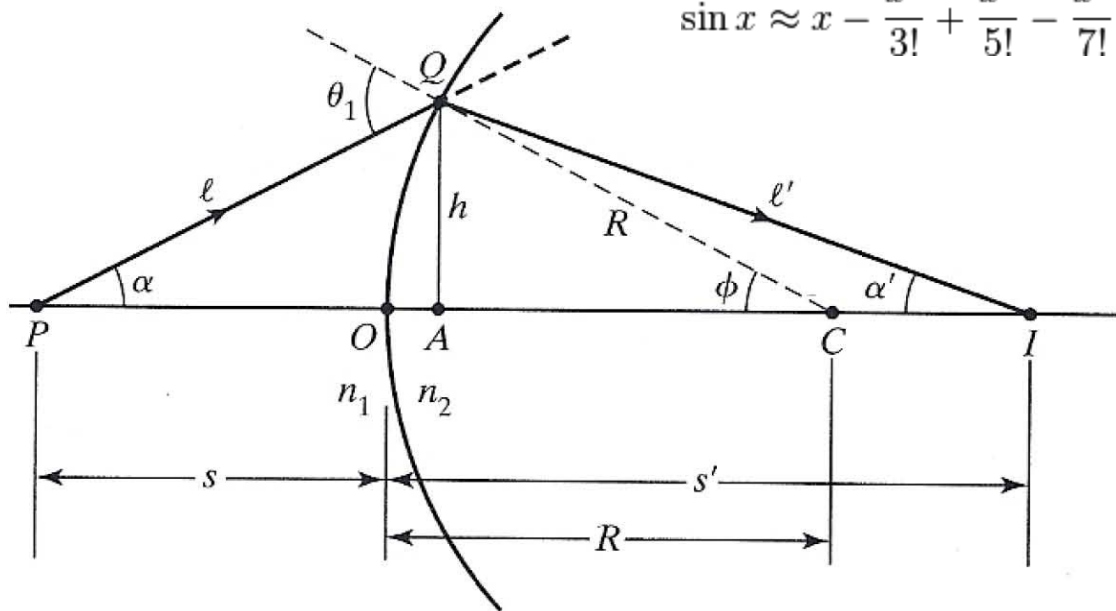
$$b_x = \frac{s' da}{n_2 dx}$$

$$b_z = \frac{b_y}{\tan \theta} = \frac{s' b_y}{y}$$

(b_x κάθετα στη σελίδα)

Διορθώσεις 3ης τάξης για διάθλαση από σφαιρική διαχωριστική επιφάνεια: (i) από σημεία στον άξονα

$$\sin x \approx x - \frac{x^3}{3!} + \frac{x^5}{5!} - \frac{x^7}{7!}.$$



$$a(Q) = (PQI - POI)_{opd}$$



$$a(Q) = (n_1\ell + n_2\ell') - (n_1s + n_2s')$$

$$\left. \begin{array}{l} \ell^2 = R^2 + (s + R)^2 - 2R(s + R)\cos \phi \\ \ell'^2 = R^2 + (s' - R)^2 + 2R(s' - R)\cos \phi \\ \cos \phi = (1 - \sin^2 \phi)^{1/2} = [1 - (h/R)^2]^{1/2} \\ \cos \phi \cong 1 - \frac{h^2}{2R^2} - \frac{h^4}{8R^4} \end{array} \right\} \begin{array}{l} \ell = s \left(1 + \left[\frac{h^2(R + s)}{Rs^2} + \frac{h^4(R + s)}{4R^3s^2} \right] \right)^{1/2} \\ \ell' = s' \left(1 + \left[\frac{h^2(R - s')}{Rs'^2} + \frac{h^4(R - s')}{4R^3s'^2} \right] \right)^{1/2} \end{array}$$

Διορθώσεις 3^{ης} τάξης για διάθλαση από σφαιρική διαχωριστική επιφάνεια – συνέχεια

Εξ. 1

$$(1 + x)^{1/2} \cong 1 + \frac{x}{2} - \frac{x^2}{8}$$

$$\ell \cong s \left(1 + \frac{x}{2} - \frac{x^2}{8} \right)$$

$$\ell' \cong s' \left(1 + \frac{x'}{2} - \frac{x'^2}{8} \right)$$

Παραλείποντας όρους ανώτερους του h^4

$$\ell = s \left[1 + \frac{h^2(R + s)}{2Rs^2} + \frac{h^4(R + s)}{8R^3s^2} - \frac{h^4(R + s)^2}{8R^2s^4} \right]$$

$$\ell' = s' \left[1 + \frac{h^2(R - s')}{2Rs'^2} + \frac{h^4(R - s')}{8R^3s'^2} - \frac{h^4(R - s')^2}{8Rs'^4} \right]$$

Αλλά ισχύει

$$a(Q) = (n_1\ell + n_2\ell') - (n_1s + n_2s')$$

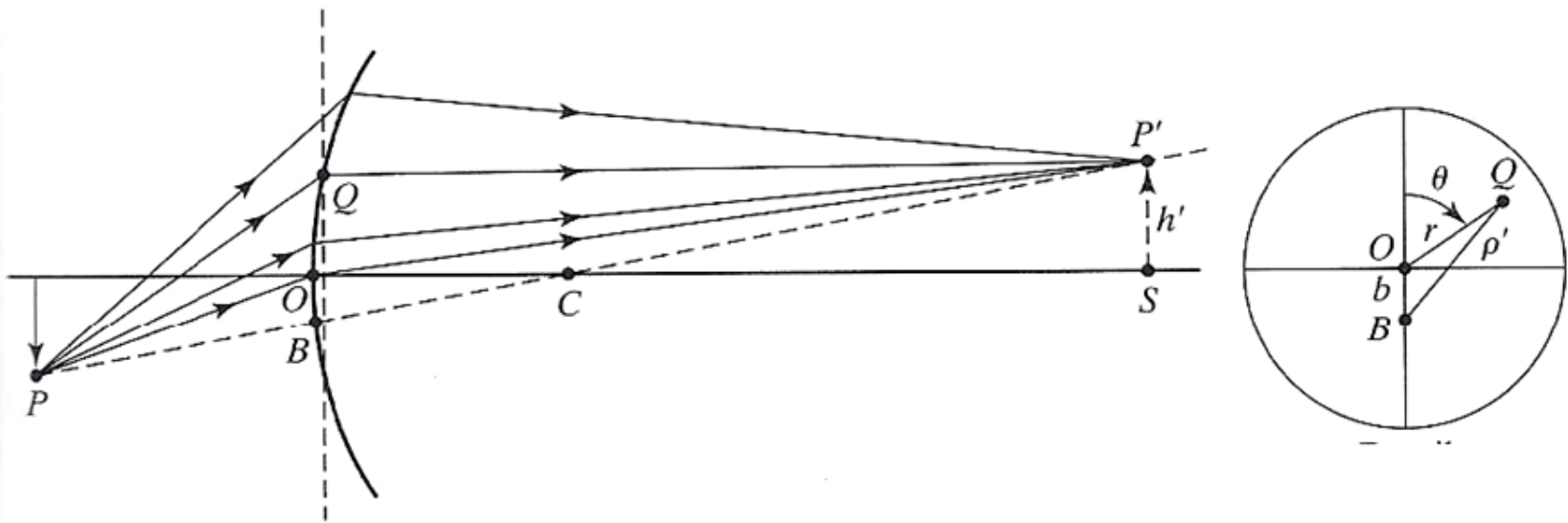
Οπότε

$$a(Q) = -\frac{h^4}{8} \left[\frac{n_1}{s} \left(\frac{1}{s} + \frac{1}{R} \right)^2 + \frac{n_2}{s'} \left(\frac{1}{s'} - \frac{1}{R} \right)^2 \right] \rightarrow a(Q) = ch^4$$

για σημεία πάνω στον οπτικό άξονα

Στο $a(Q)$ υπάρχει όρος ανάλογος του h^2 , με συντελεστή ανάλογο του που ισούται με 0 από την αρχή του Fermat (για σφαιρική επιφάνεια)

$$\left(\frac{n_1}{s} + \frac{n_2}{s'} \right) - \left(\frac{n_2 - n_1}{R} \right)$$



$$a'(Q) = (PQP' - PBP')_{opd} = c(BQ)^4 = c\rho'^4$$

$$a'(O) = (POP' - PBP')_{opd} = c(BO)^4 = cb^4$$

$$a(Q) = a'(Q) - a'(O) = c\rho'^4 - cb^4 = c(\rho'^4 - b^4)$$

$$\rho'^2 = r^2 + b^2 + 2rb \cos \theta$$

$$a(Q) = c(r^4 + 4r^2b^2 \cos^2 \theta + 2r^2b^2 + 4r^3b \cos \theta + 4rb^3 \cos \theta)$$

$$b = kh' \quad (\text{από όμοια τρίγωνα OCB, P'CS})$$

$$a(Q) = {}_0C_{40}r^4 + {}_1C_{31}h'r^3 \cos \theta + {}_2C_{22}h'^2r^2 \cos^2 \theta \\ + {}_2C_{20}h'^2r^2 + {}_3C_{11}h'^3r \cos \theta$$

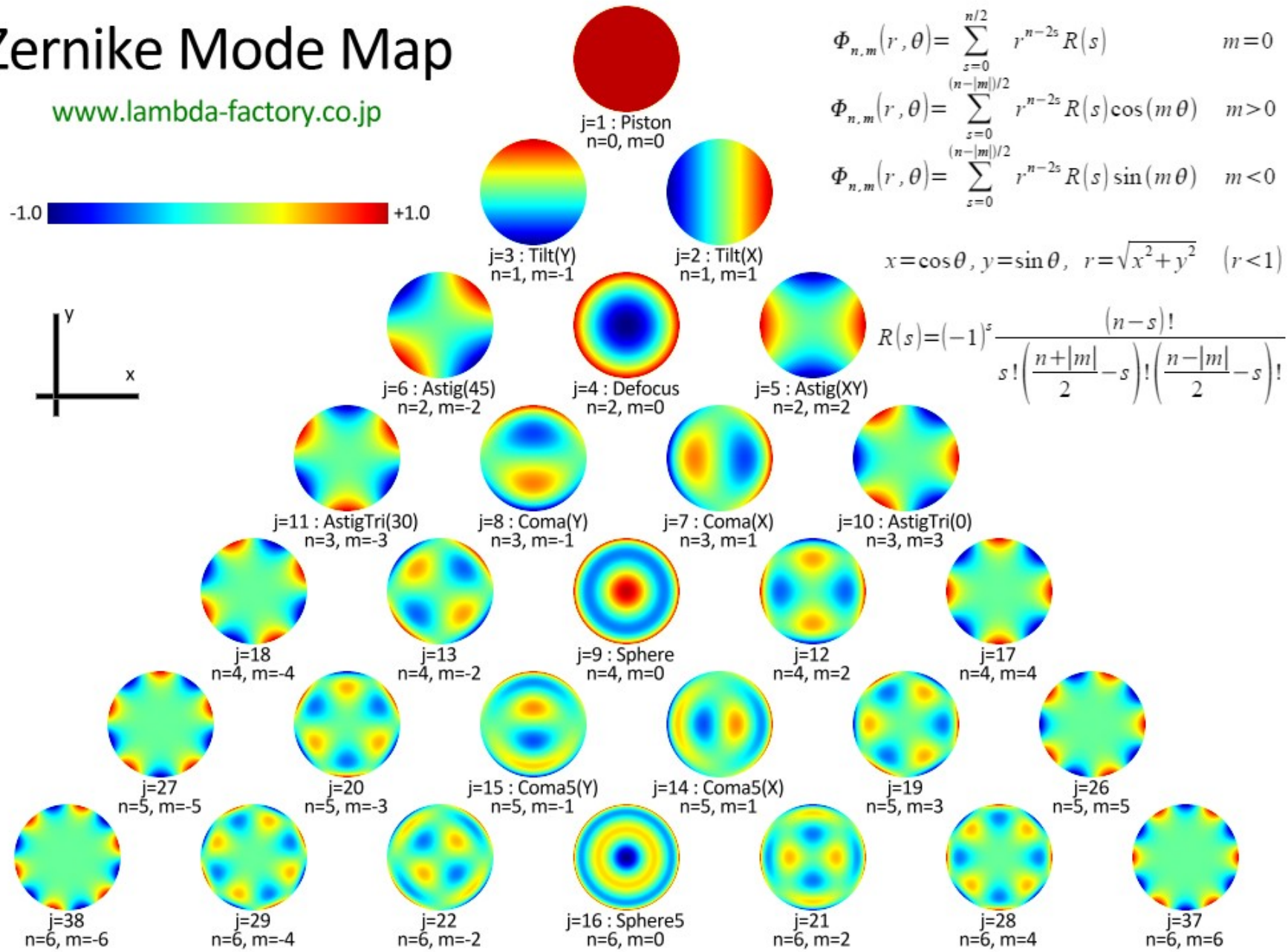
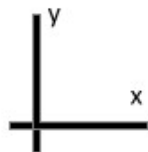
$$({}_0\bar{C}_{31} h'^3 r \cos \theta)$$

r^4	Σφαιρική εκτροπή
$h'r^3 \cos \theta$	Κόμη
$h'^2r^2 \cos^2 \theta$	Αστιγματισμός
h'^2r^2	Καμπυλότητα πεδίου
$h'^3r \cos \theta$	παραμόρφωση

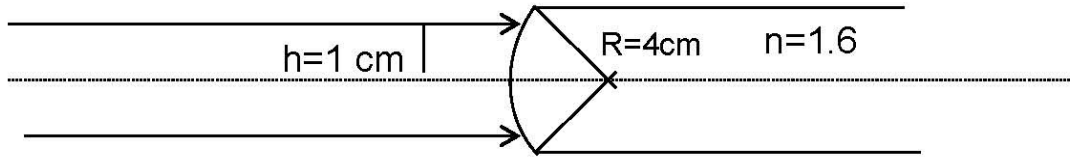
Zernike Mode Map

www.lambda-factory.co.jp

-1.0  +1.0



Παράδειγμα



Βρείτε την διαμήκη και
εγκάρσια σφαιρική εκτροπή

$$\text{από } a(Q) = -\frac{h^4}{8} \left[\frac{n_1}{s} \left(\frac{1}{s} + \frac{1}{R} \right)^2 + \frac{n_2}{s'} \left(\frac{1}{s'} - \frac{1}{R} \right)^2 \right] \quad \text{και } s \gg \rightarrow$$

$$a = -\frac{h^4}{8} \left[\frac{n_2}{s'} \left(\frac{1}{s'} - \frac{1}{R} \right)^2 \right] \quad \rightarrow \quad \frac{da}{dh} = -\frac{h^3}{2} \left[\frac{n_2}{s'} \left(\frac{1}{s'} - \frac{1}{R} \right)^2 \right]$$

Η θέση του ειδώλου όπως προβλέπεται από την παραξονική οπτική είναι

$$\frac{1}{\infty} + \frac{1.6}{s'} = \frac{0.6}{4} \quad \rightarrow \quad s' = 10.667\text{ cm}$$

$$\frac{da}{dh} = -\frac{1}{2} \left[\frac{1.6}{10.67} \left(\frac{1}{10.67} - \frac{1}{4} \right)^2 \right] = -0.001831$$

$$b_y = \frac{s'}{n_2} \frac{da}{dy} = \frac{s'}{n_2} \frac{da}{dh} = \frac{10.667}{1.6} (-0.001831) = -0.0122\text{ cm}$$

$$b_z = \frac{s'}{r} b_y = \frac{s'}{h} b_y = \frac{10.667}{1} (-0.0122) = -0.130\text{ cm}$$

Παραμόρφωση

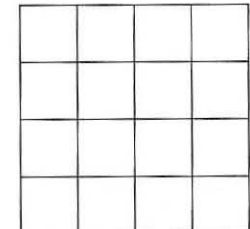
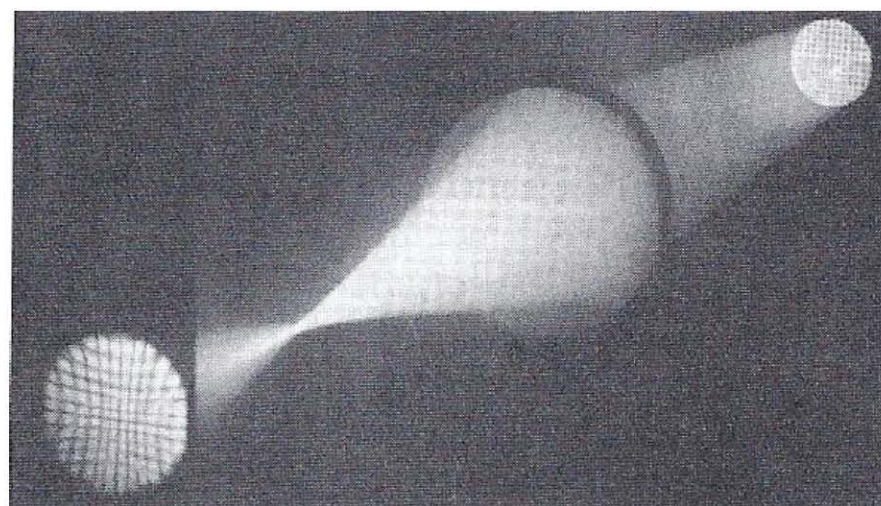
$$_3C_{11}h'^3r \cos \theta$$

Οφείλεται στο ότι η εγκάρσια μεγέθυνση ενός αντικειμένου είναι συνάρτηση της απόστασης ενός μη αξονικού αντικειμένου

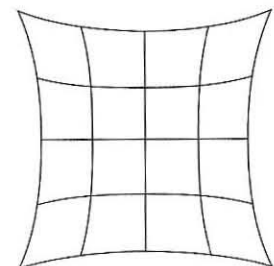
Όταν η μεγέθυνση στον άξονα είναι μικρότερη από την μεγέθυνση εκτός άξονα



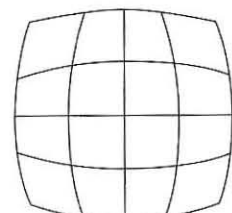
Όταν η μεγέθυνση στον άξονα είναι μεγαλύτερη από την μεγέθυνση εκτός άξονα



(a)

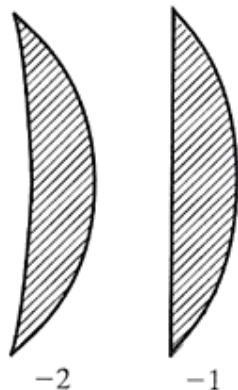


(b)



(c)

Σφαιρική εκτροπή για λεπτούς φακούς



Ο τύπος των κατασκευαστών των φακών δίνει την ίδια εστιακή απόσταση για διαφορετικούς συνδυασμούς ακτίνων καμπυλοτητας

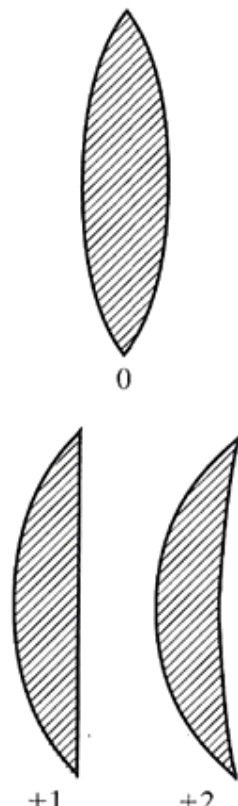
Όμως διαφορετικοί συνδυασμοί μπορούν να δώσουν πολύ διαφορετική συνολική σφαιρική εκτροπή

$$\frac{1}{f} = (n - 1) \left(\frac{1}{r_1} - \frac{1}{r_2} \right)$$

Coddington shape factor σ

$$\sigma = \frac{r_2 + r_1}{r_2 - r_1}$$

Π.χ. Λεπτός φακός με $n=1.5$ και $f=10$ cm μπορεί να προκύψει



(αριστερός) Μηνίσκος: $\sigma = -2$ ($r_1 = -10$ cm, $r_2 = -3.33$ cm)

(αριστερός) Επιπεδόκυρτος φακός: $\sigma = -1$ ($r_1 = +\infty$, $r_2 = -5$ cm)

Αμφίκυρτος φακός: $\sigma = 0$ ($r_1 = 10$ cm, $r_2 = -10$ cm)

(δεξιός) Επιπεδόκυρτος φακός: $\sigma = +1$ ($r_1 = 5$ cm, $r_2 = +\infty$)

(δεξιός) Μηνίσκος: $\sigma = +2$ ($r_1 = 3.33$ cm, $r_2 = 10$ cm)

Έστω s'_p η παραξονική θέση του ειδώλου και s'_h η πραγματική απόσταση ειδώλου που προέρχεται από αντικείμενο σε ύψος h από τον άξονα

ορίζουμε
$$p = \frac{s' - s}{s' + s}$$

αποδεικνύεται

$$\frac{1}{s'_h} - \frac{1}{s'_p} = \frac{h^2}{8f^3} \frac{1}{n(n-1)} \left[\frac{n+2}{n-1} \sigma^2 + 4(n+1)p\sigma + (3n+2)(n-1)p^2 + \frac{n^3}{n-1} \right]$$

Έχει ελάχιστο όταν

$$\sigma = -\frac{2(n^2 - 1)}{n + 2} p$$

Π.χ. Για αντικείμενο στο άπειρο, και $n=1.50$, $\sigma \sim 0.7$, δηλ. κοντά στο $\sigma=+1$ **επιπεδόκυρτου φακού**

Όταν χρησιμοποιούνται συστήματα φακών υπάρχει η δυνατότητα μηδενισμού της σ.ε. Διότι οι θετικοί και αρνητικοί φακοί προκαλούν σφαιρική εκτροπή αντίθετου προσήμου

Συνθήκες απουσίας σφαλμάτων

Σφαιρικό σφάλμα:

Έχει ελάχιστο όταν: $\sigma = -\frac{2(n^2 - 1)}{n + 2} p$ Όπου: $p = \frac{s' - s}{s' + s}$

$$\sigma = \left(\frac{2(n^2 - 1)}{n + 2} \right) \left(\frac{s - s'}{s + s'} \right)$$

Σφάλμα κόμης:

Απουσία κόμης συμβαίνει όταν:

$$\sigma = \left(\frac{2n^2 - n - 1}{n + 1} \right) \left(\frac{s - s'}{s + s'} \right)$$